



MIEŚIĘCZNIK

RADIO

DLA TECHNIKÓW I AMATORÓW

ROK II

WRZESIEŃ 1947 R.

NR 9

BIURO WYDAWNICTW POLSKIEGO RADIA

Elektro-techniczny
Warsztat instalacyjny
Zaborski Marcin
Poznań

cena 60 zł

TREŚĆ NUMERU:

1. Z kraju i zagranicy.
2. Zasady obliczania odbiorników i wzmacniaczy, cz. II.
3. Elementy RLC.
4. Tongenerator (dokonczenie).
5. Rozmaitości.
6. Lampy serii — 11.
7. Aparatura radiowęzła z własnym źródłem prądu.
8. Przegląd schematów.
9. Neonogram Nr 16.

CZYTAJCIE TYGODNIK

»**RADIO i ŚWIAT**«

R A D I O

Miesięcznik dla techników i amatorów

Rok II

Wrzesień 1947

Nr 9

Z KRAJU I ZAGRANICY

PLANY ROZBUDOWY URZĄDZEŃ NADAWCZYCH POLSKIEGO RADIA W 1948 R.

Polskie Radio przewiduje w roku 1948 dwa poważne przedsięwzięcia: pierwsze z nich to kontynuowanie prac związanych z budową nowej, długofalowej 200kw-iej Radiostacji Centralnej, na miejscu dotychczasowej radiostacji „Raszyn”; drugie to budowa nowej średniofalowej 50kw-iej radiostacji w Szczecinie.

Nadajnik Radiostacji Centralnej został zamówiony w r. ub. w f-mie czechosłowackiej „Radio-slavia”, która, jako produkująca lampy nadawcze i mająca kontakt z innymi firmami czechosłowackimi, mogła się podjąć zadania, jakie w naszych warunkach przemysłowych (brak fabryk sprzętu radiotechnicznego) było trudne do zrealizowania.

A oto garść szczegółów, dotyczących strony technicznej nadajnika: lampy nadawcze chłodzone wodą i żarzone prądem stałym. Układ nadajnika z modulacją anodową w ostatnim stopniu z lampami CAT14 (układ przeciwbobny, przy czym ostatni stopień modulatora nasodany jest wtórnikiem katodowym (cathode follower).

Stalowy maszt antenowy o wysokości 330 m (wysokość wieży Eiffela) wykonany jest w kraju przez f-mię „Mostostal” i będzie, według przewidywań, zmontowany jeszcze w tym roku. O wymiarach i trudnościach konstrukcyjnych świadczy fakt, że maszt ma cięgnąć na podstawę z siłą ok 800 ton.

Nadajnik w Szczecinie, do projektu którego przystąpiono w tym roku, będzie wykonany całkowicie środkami P. R. Projekt przewiduje lampy chłodzone powietrzem i żarzone prądem zmiennym. Układ z modulacją anodową w ostatnim stopniu. Ze względu na położenie geograficzne Szczecina przewiduje się układ antenowy w charakterystyce kłokunkowej.

Obie stacje będą uruchomione z początkiem roku 1949.

KONFERENCJA W ATLANTIC CITY

Jak już kilkakrotnie podawaliśmy w Atlantic City w stanie N. J. w czasie od 15.V. do 27.IX. 47 r. odbywała się Międzynarodowa Konferencja Telekomunikacyjna. Brali w niej udział delegaci 75 państw, a w ich liczbie i Polski. Jakkolwiek na konferencji nie zapadły definitywne uchwały, to jednak należy się spodziewać, że w ramach następnych konferencji (w r. 1948) wyłonionych komitetów, zatwierdzony będzie ostateczny rozdział fal, który usunie chaos jaki panuje w tej chwili w eterze.

W Atlantic City odbyły się następujące konferencje:

1. Międzynarodowa konferencja radiowa (administracyjna)
2. Międzynarodowa konferencja telekomunikacyjna (plenipotencyjna)
3. Narada państw strefy europejskiej dla przygotowania europejskiej konferencji radiofonicznej.
4. Międzynarodowa konferencja radiofoniczna dla fal krótkich.

Obrady konferencji podzielone były pomiędzy poszczególne komisje, podkomisje i grupy, a z posiedzeń tych sporządzono odpowiednie dokumenty (w języku francuskim i angielskim) w ilości około 2000.

Na konferencji pierwszej (radiowo - administracyjnej) opracowano regulamin z przydziałem częstotliwości dla poszczególnych rodzajów służb w zakresie od 10 kc/s do 10500 Mc/s. Cały świat podzielony został na 8 strefy (zony), określone południkami i równoleżnikami, a rozdział fal długich i średnich dokonany będzie w ramach oddzielnych konferencji dla danej strefy.

Przydzielą w zakresie fal krótkich ze względu na ich zasięg światowy miały być dokonywane w Atlantic City.

Elektryczny
Warsztat Instalacyjny
Zaborski Mari

TELEWIZJA W U. S. A.

W ostatnim numerze podaliśmy przydział pa-
ców dla amatorów krótkofalowców, na tym
miejscu umieszczamy ogólny rozdział fal w za-
kresie średnio- i długofalowym, oraz krótkofa-
lowym.

Čzęstotliwość	U w a g i:
150 — 160 kc/s	— wspólna dla radiofonii i marynarki
160 — 235 "	— radiofonia
235 — 285 "	— radiofonia, marynarka, lotnictwo
525 — 1605 "	— radiofonia

Fale krótkie

5550 — 6200 kc/s	— pos 49 m — radiofonia
7100 — 7300 "	— " 42 " — wspólne z krótkofalowcami
9500 — 9775 "	— " 31 " — radiofonia
11700 — 11975 "	— " 25 " — "
15100 — 5450 "	— " 20 " — "
17700 — 7900 "	— " 16 " — "
21450 — 17500 "	— " 13 " — "
26000 — 26100 "	— " 11 " — "

W ramach Konferencji Telekomunikacyjnej
(Plenipotencyjnej) zawarto nową konwencję
„Międzynarodowa Unia Telekomunikacyjna”
z radą administracyjną złożoną z 18 członków.
Między innymi ze strefy europejskiej wchodzi:
Francja, Jugosławia, Polska, Portugalia, Szwaj-
caria, Włochy, Zjednoczone Królestwo (W. Bry-
tania) Z.S.R.R. Siedzibą Unii jest Genewa.

W związku z tym stworzono również Między-
narodowy Komitet Rejestracji Čzęstotliwości
(w miejsce poprzedniego Biura Bruckakiego)
również z siedzibą w Genewie.

Delegaci Państw strefy europejskiej zwołali
odrębną konferencję dla omówienia i przygo-
towania materiałów odnośnie rozdziału fal w Eu-
ropie (zakres średnio i długofalowy).

Pośród tych państw wybrano komitet 8-miu
(Belgia, Francja, Holandia, Jugosławia, Szwaj-
caria, Szwecja, Zjednoczone Królestwo, Z.S.
R.R.), który ma się zająć przygotowaniem planu
rozdziału fal. Siedzibą Komitetu jest Bruksela.

Właściwa konferencja strefy europejskiej
odbędzie się w Kopenhadze w połowie roku 1948,
gdzie ostatecznie zatwierdzi się plan podziału
fal w Europie.

Jak widać z powyższego, stworzeniem komi-
tetu 8-miu ominięto drażliwą sprawę powierze-
nia tego zagadnienia przedwojennej organizacji
U.I.R. i powojennej O.I.R.

Na Międzynarodowej Konferencji Radiofo-
nicznej dla fal krótkich powołano komitet 5-ciu
państw z siedzibą w Mexico - City, którego za-
daniem będzie przygotowanie planu rozdziału
fal na podstawie materiałów przesłanych przez
zainteresowane państwa. Ostateczne zatwier-
dzenie tego planu odbędzie się na Międzynarod-
owej konferencji w Makayku 22 października
1948 r.

W Stanach Zjednoczonych A. P. czynnych jest
w tej chwili 11 stacji telewizyjnych, które
obsługują teren zamieszkały przez 27 mil. oby-
wateli; ilość odbiorników telewizyjnych wynosi
54000.

W najbliższych kilkunastu miesiącach urucho-
mionych zostanie dalszych 54 stacji, które
obsługują łącznie 55 milionów ludności.

★

Na zjeździe lekarzy chirurgów w New Yorku
firma RCA zademonstrowała seans telewizyj-
ny z przebiegu operacji. Ze szpitala transmisjo-
wano obraz i słowny komentarz do siedmiu od-



Telewizyjna transmisja z sali operacyjnej.

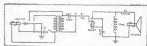
biorników umieszczonych w hotelu Waldorf —
Asterik, gdzie ok. 300 lekarzy przyglądało
się przebiegowi operacji.

NOWY „RADAR” DLA NIEWIDOMYCH (Radio News 10.47)

Przed trzema laty utworzono w U.S.A. fun-
dusz przeznaczony na subwydowanie wynalaz-
ków umożliwiających niewidomym orientowanie
się w otoczeniu.

W swoim czasie podaliśmy opis urządzenia
pracującego na zasadzie optyczno - dźwiękowej;
mianowicie odbity od przeszkody promień

światliny był modulowany obracającą się tarczą z otworkami i padając na fotocelę wytwarzal ten, którego wynokniść zależała od kąta odbicia, a zatem od odległości przeszkody.



Rys. 1.

Ostatnio opublikowano nowe urządzenie o wiele prostsze i tańsze w eksploatacji, pracujące na zasadzie akustycznej. Ogólnie biorąc, wszystkie tego rodzaju pomysły nawiązują zasadę „radaru”, zasadę, którą spotykamy od dawna w naturze. Wiadomo, że na przykład śmy lub nietoperze doskonale orientują się w ciemnościach; mianowicie wyrzucają one przy pomocy specjalnych organów krótkotrwale dźwięki nadakustyczne i, zależnie od natężenia odbitego dźwięku, określają odległość przeszkody.



Rys. 2.

Opisane poniżej urządzenie składa się z przyrządu wytwarzającego i wysyłającego serie impulsów o częstotliwości ok. 12 kHz.

Odbite od przeszkody impulsy są słyszane przez niewidomego, który zależnie od natężenia orientuje się w odległości przeszkody.

Układ elektryczny urządzenia i widok zewnętrzny przedstawia rys. 1 i 2. Całość waży około 1,5 kg i łatwo może być umieszczona w kieszeniach; na zewnątrz widoczny jest tylko re-

flektor — głośnik o średnicy ok. 10 cm, przy czym krótkotrwale impulsy o stosunkowo wysokim tonie są na ogół nie zauważane przez słuchacza. Jak widzimy z rysunku 1, urządzenie jest zasilane z baterii 1,5V; przy pomocy wibratora i transformatora uzyskuje się po stronie wtórnej na zaciskach kondensatora napięcie około 130V. Napięcie to ładuje, poprzez opór R, i uzwojenie przekładnika, kondensator C₁ w czasie ok. 0,043 sek. Po tym czasie prąd ładowania jest praktycznie równy zeru, dźwignia przekładnika zostaje zwolniona i kontakt jego rozładuje kondensator C₁ przez cewkę L₁. W powstałym obwodzie oscylacyjnym powstaje krótka seria drgań o częstotliwości 11,8 kHz. Ładowanie kondensatora powtarza się co $\frac{1}{10}$ sekundy.

Z obwodem oscylacyjnym sprzężony jest drugi obwód, a mianowicie kondensator C₂ i uzwojenie głośnika.

Częstotliwość rezonansowa tego obwodu wynosi również około 12 kHz. Głośnik, a właściwie mechanizm słuchawki umieszczony jest w ognisku parabolicznego reflektora o średnicy ok. 10 cm. Włókna promieniowana przez reflektor jest skupiona w kącie ok. 15°; dla zagrobień przenoszenia się dźwięków przez ścianki boczne, na właściwy reflektor nałożona jest zasłona izolowana watą szklaną. Wyniki osiągnięte przy pomocy opisanego urządzenia są zupełnie zadowalające. Posługujący się nim słyszy praktycznie tylko dźwięk odbity z odległości do 12 stóp (ok. 3,5 m). W mieszkaniu gdzie jest względnie cicho, słychać wyprawdzie dodatkowo słaby dźwięk z reflektora i przekładnika, jednak dźwięk odbity są o wiele silniejsze.

Przy praktycznym sprawdzeniu na ulicy można było „zauważyć” drzewo o średnicy ok. 9 cm z odległości 3 m.

SKALE

do radiodbiorników
różnych typów polała

„Kopioteknika” Poznań

Wł. W. Ruszkiewicz, ul. Wierzbicice 10 Tel. 16-55

Na poselstwo wysyłamy pocztą. Przy zamówie-
niami podać nazwę i typ aparatu oraz wymiar skali

Zasady obliczania odbiorników i wzmacniaczy

Cz. II. Obwody rezonansowe.

W części pierwszej omówiliśmy ogólnie systemy odbiorników oraz ich cechy charakterystyczne. Obecnie zajmiemy się poszczególnymi elementami odbiornika, a w pierwszym rzędzie obwodami rezonansowymi.

Selektywność, zasnęg a także jakość odbioru zależą w wielkiej mierze od obwodów rezonansowych, a ich głównym zadaniem jest wydzielenie pożądanego sygnału spośród różnych indukujących się w antenie.

Obwody rezonansowe stosowane są w obwodach wejściowych oraz we wzmacniaczach wielkiej i pośredniej częstotliwości, przy czym różniamy obwody szeregowo, równoległe i obwody sprzężone.

Każdy obwód rezonansowy charakteryzuje się dwiema właściwościami:

- a) częstotliwością rezonansową,
- b) współczynnikiem dobroci,

Elementy obwodu.

Obwód rezonansowy składa się z cewki (L), kondensatora (C) oraz oporów (r, R), reprezentujących straty tych elementów.



Rys. 1 a, b, c.

Ważny pod uwagę cewkę (rys. 1a); składa się ona z idealnej indukcyjności L oraz oporu strat r, na który składają się opór omowy (dla prądu zmiennego) przewodnika, z którego nawinięta jest cewka, straty w dielektryku korpusu cewki i izolacji drutu, straty na prądy wirowe indukujące się w metalowych częściach (ekrany) w pobliżu cewki, straty w rdzeniach ferromagnetycznych i t. p.

Schematycznie, wszystkie te straty określamy zastępczym oporem r.

Dla porównania jakościowego różnych cewek operuje się tak zwanym współczynnikiem dobroci cewki, oznaczanym w radiotechnice literą Q.

Współczynnik dobroci jest to stosunek oporu indukcyjnego ($X_L = \omega L$) do oporu r czyli

$$Q_L = \frac{\omega L}{r} = \frac{6,28 \cdot f \cdot L}{r} \quad (1)$$

gdzie

- $\omega = 2\pi f = 6,28 f$ — pulsacja
 f — częstotliwość w c/s
 L — indukcyjność cewki w henrach
 r — opór w omach.

Najlepiej cewki w odbiornikach mają sp. dobroci rzędu 200 — 250;

normalnie stosowane cewki około 100 — 150, przy częstotliwości $f = 1$ Mc/s.

Na przykład jeżeli cewka o indukcyjności 200 μ H posiada sp. dobroci rzędu 100 dla częstotliwości 1 Mc/s, wtedy opór strat wynosi

$$r_L = \frac{6,28 \cdot f \cdot L}{Q} = \frac{6,28 \cdot 10^6 \cdot 200 \cdot 10^{-6}}{100} \approx 12,6 \text{ oma}$$

Podobnie drugi element obwodu, kondensator „C”, posiada pewne straty, które decydują o jego dobroci.

Rys. 1b, przedstawia zastępczy układ kondensatora. Opór R reprezentuje straty w dielektryku (prąd szczytkowieny) oraz straty upływu, na skutek słabej izolacji dielektryka.

Przy b. wielkich częstotliwościach grają również dużą rolę opory doprowadzeń; będą one reprezentowane pewnym oporem szeregowym. Dla uproszczenia wszystkie straty przedstawia się oporem równoległym R w układzie, jak na rys. 1b, albo oporem szeregowym, jak na rys. 1c, przy czym układy to są sobie równoważne i jeżeli r jest małe w porównaniu z oporem pojemnościowym

$$X_C = \frac{1}{\omega C} = \frac{1}{6,28 \cdot f \cdot C}, \text{ wtedy } R \text{ i } r$$

związane są równaniem

$$R = \frac{1}{\omega^2 \cdot C^2 \cdot r} \approx \frac{1}{40 \cdot f^2 \cdot C^2 \cdot r} \quad (2)$$

gdzie

- R i r — w omach
 C — w faradach
 f — w c/s.

Sp. dobroti kondensatora określa wzór

$$Q_c = \omega \cdot C \cdot R = 6,28 \cdot f \cdot C \cdot R \quad (3a)$$

albo dla układu (1b)

$$Q_c = \frac{1}{\omega \cdot C \cdot r} = \frac{1}{6,28 \cdot f \cdot C \cdot r} \quad (3b)$$

Sp. dobroti kondensatorów mikowych stosowanych np. w filtrach pośredniej częstotliwości wynosi około 5.000. Kondensatory ceramiczne około 1.000 + 2.000, dobre kondensatory powietrzne (na kalitach) 10.000 (kondensatory papierowe $Q_c = 10!!!$).

Wartości powyższe podane są dla częstotliwości 1,0 Mc/s.

Dla przykładu obliczmy wartość oporów równoległego i szeregowego dla kondensatora o pojemności 125 pF o sp. dobroti $Q = 2000$, i częstotliwości 1 Mc/s.

$$R = \frac{Q_c}{6,28 \cdot f \cdot C} =$$

$$= \frac{2000}{6,28 \cdot 10^6 \cdot 125 \cdot 10^{-12}} \approx 2,5 \cdot 10^4 = 2,5 \text{ M}\Omega$$

albo w układzie (1c)

$$r_0 = \frac{1}{Q_c \cdot 6,28 \cdot f \cdot C} = \frac{1}{2000 \cdot 6,28 \cdot 10^6 \cdot 125 \cdot 10^{-12}} = 0,64 \text{ oma}$$

Jak więc widzimy w obwodzie złożonym z cewki (obliczonej poprzednio) i kondensatora przeważającą rolę grają straty cewki.

W rzeczywistości jednak równoległe do obwodu włączone są lampy elektronowe, których opór wewnętrzny pogarsza dobroć obwodu.

Zanim przejdziemy do rozpatrzenia obwodów omówimy zależność oporu indukcyjnego i pojemnościowego od częstotliwości.

Opór indukcyjny

$$X_L = 6,28 \cdot f \cdot L \quad \text{omów}$$

wzrasta proporcjonalnie do częstotliwości jak to przedstawia rys. 2a. Znaczący to, że im większa częstotliwość, tym większy opór, np. poprzednio obliczana cewka ($L = 200 \mu\text{H}$, $f = 10^6$) ma poślada opór indukcyjny

$$X_L = 6,28 \cdot 10^6 \cdot 200 \cdot 10^{-6} \approx 1270 \text{ omów}$$

dla częstotliwości

$$f = 10 \text{ Mc/s} \quad \text{dla } f = 100 \text{ kc/s}$$

$$X_L = 12700 \text{ omów} \quad X_L = 127 \text{ omów}$$

Opór pojemnościowy

$$X_C = \frac{1}{6,28 \cdot f \cdot C} \quad \text{omów}$$

jest odwrotnie proporcjonalny do częstotliwości f jak na rys. 2b. Znaczący to, że ze wzrostem częstotliwości opór kondensatora maleje, przy czym w porównaniu z indukcyjnością opór pojemnościowy jest odmiennego charakteru niż indukcyjny; dlatego na rys. 2b. narysowaliśmy zależność X_C poniżej osi poziomej.

Np. opór pojemnościowy kondensatora 125 pF dla częstotliwości 100 kc/s wynosi

$$X_C = \frac{1}{6,28 \cdot 100 \cdot 10^3 \cdot 125 \cdot 10^{-12}} \approx 12700 \text{ omów}$$

dla częstotliwości 1 Mo/s

$$X_C = \frac{1}{6,28 \cdot 10^6 \cdot 125 \cdot 10^{-12}} \approx 1270 \text{ omów}$$

dla częstotliwości 10 Mo/s

$$X_C = 127 \text{ omów}$$



Rys. 2 a, b.

Jeżeli włączymy na zaciski generatora o częst. f indukcyjność lub pojemność, to popłynie prąd o wielkości określonej prawem Ohma. Jako opór wstawiamy obliczoną wartość X_L lub X_C .

Przy łączeniu 2-oporów omowych w szereg wypadkowy opór równa się sumie obu oporów. Przy łączeniu oporu indukcyjnego i pojemnościowego w szereg wypadkowy opór równa się różnicy obu oporów.

Dla przykładu wypadkowy opór obliczamy dla pojemności i indukcyjności (125 pF, 200 μH): dla częstotliwości 100 kc/s

$$X_{\Sigma} = X_L - X_C = 127 - 12700 = -12573 \text{ om}\Omega$$

albo mówimy 12573 om Ω pojemnościowe, gdyż opór pojemnościowy jest większy i wypadkowy opór jest jakby oporem jakiegoś kondensatora nieco większego niż 125 pF:

dla częstotliwości 10 Mc/s

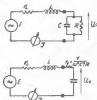
$$X_c = X_L - X_C = 12700 - 127 = +12573 \text{ om}$$

albo jak mówimy opór wypadkowy ma charakter indukcyjny;

dla częstotliwości 1 Mc/s

$$X_c = X_L - X_C = 1270 - 1270 = 0$$

opór wypadkowy równa się zero.



Rys. 3 a, b.

Rozpatrzmy teraz obwód szeregowy złożony z kondensatora i indukcyjności jak na rys. 3a względnie 3b.

Układ zasilamy z generatora o stałej sile elektromotorycznej $E = 100V$ a zmiennej częstotliwości.

Przypatrzmy się jak będzie zmieniał się prąd w obwodzie I (dla uproszczenia pominiemy opory omowe). Przy częstotliwości b. małej np. 10 kc/s opór kondensatora będzie bardzo duży, cewki — mały: $X_C = 127000 \text{ omów}$, $X_L = 12,7 \text{ om}$, tak że w przybliżeniu prąd równał się będzie

$$I \approx \frac{100}{127000} \approx 0,8 \text{ mA}$$

Ze wzrostem częstotliwości opór kondensatora maleje, a opór cewki rośnie i tak przy $f = 100 \text{ kc/s}$ opór wypadkowy obwodu $X_c = -12573$, zaś prąd

$$I \approx \frac{100}{12573} \approx 8 \text{ mA}$$

innymi słowy prąd rośnie. Przy częstotliwości większej np. 10 Mc/s opór wynosił $X_c = 12573 \text{ om}$ czyli prąd równa się również 8 mA; dla częstotliwości 100 Mc/s opór cewki warości jeszcze bardziej i prąd obwodu zmniejsza do około 0,8 mA.

Jak więc widzimy że wzrostem częstotliwości prąd rośnie a następnie maleje; gdzieś pośrednio pomiędzy tymi skrajnymi wypadkami

prąd osiąga wartość maksymalną mianowicie dla częstotliwości 1 Mc/s.

Opory pojemnościowy i indukcyjny są wtedy równe, ale znaku przeciwnego i wypadkowy opór równy jest zero. Wobec tego prąd w obwodzie przybrałby wartość nieskończoności duża, gdyby nie opór strat, który wynosi (patrz wyżej)

$$r = r_L + r_C = 12,6 + 0,6 = 13,24 \text{ oma}$$

a zatem prąd w obwodzie

$$I = \frac{E}{R} = \frac{100}{13,24} = 7,55A$$

Jak więc widzimy przy pewnej częstotliwości, przy której opór pojemnościowy równa się indukcyjnemu, prąd obwodu osiąga wartość maksymalną. Częstotliwość tę nazywamy rezonanową (f_r).

Mając obwód z elementami L i C możemy obliczyć jego częstotliwość rezonanową z warunków równości oporów:

$$X_c = X_L \text{ czyli } \frac{1}{\omega \cdot C} = 2\pi \cdot f \cdot L = \frac{1}{2\pi \cdot f_r \cdot C}$$

stąd

$$f_r = \frac{1}{2\pi \sqrt{L \cdot C}} = \frac{1}{6,28 \sqrt{L \cdot C}} \dots (\text{c/s, H, F}) \quad (4a)$$

Jest to tak zwany wzór **Thomsona**.

Podstawiając L w μH , C w pF , zaś f_r w Mc/s otrzymamy:

$$f_r = \frac{159}{\sqrt{L \cdot C}} (\text{Mc/s, } \mu H, pF) \quad (4b)$$

W naszych rozważaniach pominieliśmy początkowo wpływ strat na wartość prądu. W rzeczywistości dla częstotliwości różniących się wiele od częstotliwości rezonanowej błąd jest niewielki.

Dokładną wartość prądu określa wzór

$$I = \frac{E}{\sqrt{(r_L + r_C)^2 + \left(L\omega - \frac{1}{C\omega}\right)^2}} \quad (5)$$

widać z niego, że dla częstotliwości rezonanowej ($L\omega = \frac{1}{C\omega}$) prąd jest maksymalny i wynosi

$$I_{\max} = \frac{E}{r_L + r_C} \quad (6)$$

Im straty są mniejsze tym większy prąd. Obrazuje to również tak zwana krzywa rezonansu, to jest zależność prądu od częstotliwości (rys. 4), zatem przy małych stratach krzywa jest bardziej ostra. Przekształcając równanie

(6) otrzymamy

$$I_{\max} = \frac{E}{L\omega_r} \cdot \frac{1}{\frac{1}{Q_L} - \frac{1}{Q_C}}$$

natomiast

$$\frac{1}{Q_L} - \frac{1}{Q_C} = \frac{1}{Q_{\text{wyp}}}$$

wtedy

$$I_{\max} = \frac{E \cdot Q_{\text{wyp}}}{L\omega_r} \quad (7)$$

Rozpatrzmy teraz przebieg napięcia na kondensatorze U_C w zależności od częstotliwości.

Napięcie na kondensatorze równa się iloczynowi prądu i oporu pojemnościowego

$$U_C = I \cdot X_C$$

Przy częstotliwościach b. niskich $U_C \approx E$ zaś przy b. wysokich $U_C \approx Q$. Największe napięcie występuje w szumie przybliżenia dla częstotliwości rezonansowej f_r , gdy prąd jest maksymalny. Czyli $U_C \max = I_{\max} \cdot \frac{1}{\omega_r C}$

albo

$$U_C \max \approx E \cdot Q_{\text{wyp}} \quad (8)$$

jak więc widzimy napięcie na kondensatorze wynosi Q razy więcej, niż napięcie generatora.

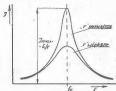
W naszym przykładzie

$$Q_L = 100 \quad Q_C = 2000$$

$$Q_{\text{wyp}} = \frac{Q_C \cdot Q_L}{Q_C + Q_L} = \frac{2000 \cdot 100}{2000 + 100} = 95$$

czyli napięcie na kondensatorze wyniesie

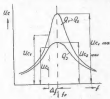
$$U_C \max \approx 100 \cdot 95 = 9500 \text{ V!}$$



Rys. 4.

W przybliżeniu takie samo napięcie jest i na cewce dla częstotliwości rezonansowej. Jeżeli użylibyśmy cewki o większych stratach, wtedy napięcie na kondensatorze zmalełoby.

Widzimy zatem, że im lepsze stożkiemy elementy L i C , tym większe będą prąd i napięcie maksymalne, tym krzywa rezonansu będzie ostrzejsza. Przy większych stratach oprócz zmniejszenia się bezwzględnych wartości prądu i napięcia następuje jeszcze spłaszczenie i rozszerzenie krzywej rezonansu (rys. 5).



Rys. 5.

Przy małej dobroci obwodu odbiór będzie słabszy i równocześnie nieselektywny, czyli będziemy słyszeć również przeszkadzające stacje o zbliżonej fali.

Jeżeli częstotliwość generatora zmienimy o Δf , wtedy dla krzywej rezonansu o mniejszych stratach napięcie na kondensatorze spadnie do wartości U_C , zaś dla krzywej o większych stratach do wartości U_C .

Selektywność obwodu będzie tym większa, im bardziej zmniejszamy się napięcie dla danego rozstrojenia (Δf).

Zależność między tymi wielkościami ujmuje wzór

$$\frac{U}{U_{\max}} = \frac{1}{\sqrt{1 + \left(2Q \frac{\Delta f}{f_r}\right)^2}} \quad (9)$$

oraz wykres na rys. 6.

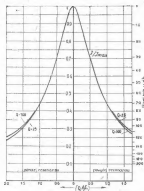
Jest to tak zwana uniwersalna krzywa, ważna dla obwodów o $Q \geq 25$.

Na osi pionowej w środku oznaczony jest stosunek $\frac{U}{U_{\max}}$ zaś po prawej stronie ten sam stosunek w decybelach (poziom zerowy dla $U = U_{\max}$).

Na osi poziomej oznaczona jest wielkość $Q \cdot \Delta f$.

Wykres ten jest bardzo pomocny przy projektowaniu obwodów. Przy jego pomocy możemy również wprost określić jaką będziemy mieli charakterystykę częstotliwości po detektorze. Prosty przykład to wyjaśnimy.

Należy zaprojektować dla odbiornika obwód, w którym przy rozstrojeniu od częstotliwości rezonansowej ($f_r = 1 \text{ Mc/s}$) o 5 kilocykli, napięcie na kondensatorze spadnie o 3 db. (Wielkość 3 db. określa nam spadek wysokich tonów modulujących $f = 5000 \text{ cps}$ — w stosunku do tonów



Rys. 6.

niskich). Wynik obliczenia ma określić żądaną dobroć obwodu. Z wykresu widzimy, że dla zmniejszenia się napięcia o 3 db. liczyn

$$Q \cdot \frac{\Delta f}{f_r} = 0,5$$

$$\text{stad } Q = \frac{0,5 \cdot f_r}{\Delta f} = \frac{0,5 \cdot 1000000}{5000} = 100.$$

czyli dobroć obwodu wynosić powinna 100. Często określa się podwójną wartość rozstrojenia dla spadku napięcia o 3 db ($\approx 70\%$) t. zw. szerokością wstęgi. W naszym wypadku szerokość wstęgi równa się $2 \cdot \Delta f_r = 2 \cdot 5000 = 10000$ c/s.



Rys. 7.

Obwody szeregowe mają zastosowanie tam, gdzie opór źródła jest niewielki i służą jako np. eliminatory zawierające obwód antenowy odbiornika.

Jakkolwiek przeprowadzony wywód był nieco uproszczony, to jednak uważaliśmy za stosowne przedstawić dokładniej obwód szeregowy, którego zrozumienie ułatwi poznanie innych obwodów. Szerzej zastosowanie w technice odbiorniczej mają obwody rezonansowe równoległe.

Rozpatrzmy układ jak na rys. 7.

Generator o sile elektromotorycznej E i oporze wewnętrznym r zasila obwód równoległy L, C . Jeżeli będziemy zmieniali częstotliwość generatora i mierzyli prądy w oznaczonych punktach, otrzymamy zależności przedstawione na rys. 8. Mianowicie przy pewnej częstotliwości f_r zwanej również rezonansową, i określonej w przybliżeniu równaniem (4a), prąd generatora spada do pewnego minimum, zaś prąd w obwodzie rezonansowym I_L osiąga wartość maksymalną.

Prąd w obwodzie I_L jest Q razy większy od prądu generatora I .

$$I_L = Q \cdot I \quad (10)$$

Ponieważ prąd generatora jest minimalny, to dla tej częstotliwości opór zastępczy obwodu w p. 1—2 jest maksymalny. Oprócz tego opór wypadkowy obwodu posiada dla częstotliwości rezonansowej wartość rzeczywistą omową. Określa się go wzorem

$$R_{\text{eq}} = r + L \cdot Q = 6,28 \cdot f \cdot L \cdot Q \quad \text{omów}$$

gdzie Q oznacza wypadkową dobroć całego obwodu obliczoną jak poprzednio. Wzór ten przedstawia się często w innej postaci:

$$R_{\text{eq}} = \frac{L}{r \cdot C} \quad \text{omów}$$

gdzie r — określa wszystkie straty umiejscowione w cewce. W wypadku naszego obwodu

$$R_{\text{eq}} = 6,28 \cdot 10^3 \cdot 200 \cdot 10^{-6} \cdot 95 \approx 120000 \text{ omów}$$



Rys. 8.

Napięcie na obwodzie U_C równa się iloczynowi prądu I i oporu obwodu R_{eq} .

Dla częstotliwości bardzo małych opór obwodu jest b. mały ($\omega L \approx 0$) a zatem napięcie $U_C \approx 0$. Dla częstotliwości bardzo wielkiej

opór pojemnościowy $\frac{1}{C\omega}$ będzie bardzo mały, a zatem opór obwodu praktycznie zwarty. Jak więc widzimy wypadkowy opór obwodu różnie od zera, osiąga maksimum i spada do zera dla częstotliwości dużych.

Charakter zmienności oporu jest zupełnie podobny do krzywej rezonansu jak na rys. 6. Krzywa ta przedstawia więc równą zależność stosunku

$$\frac{Z_{obw}}{R_{obw}}$$

gdzie Z_{obw} oznacza wartość wypadkową obwodu dla różnych częstotliwości i ma charakter oporu indukcyjnego dla małych częstotliwości, zaś oporu pojemnościowego dla dużych, a jedynie tylko dla częstotliwości rezonansowej,

$$Z_{obw} = R_{obw}$$

i posiada wartość czysto omową.

Obwody równoległe stosowane są we wzmacniaczach wielkiej częstotliwości i jeżeli opór wewnętrzny generatora r_g jest bardzo duży w porównaniu z oporem obwodu R_{obw} (praktyczny przypadek przy pentodach wielkiej częstotliwości, gdzie $r_g = 1 - 3 \text{ Meg}$), wtedy prąd I ma praktycznie wartość stałą i napięcie na obwodzie zależy tylko od oporu rezonansowego obwodu. W takim wypadku krzywa na rys. 6 przedstawia stosunek napięcia na obwodzie do napięcia przy częstotliwości rezonansowej.

Jak więc widzimy krzywą na rys. 6 stosować możemy zarówno dla obwodów szeregowych jak i równoległych.

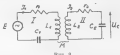
Obwody sprzężone

Obwody rezonansowe zwykłe (szeregowe lub równoległe) posiadają jedną zasadniczą wadę. Mianowicie trudno jest przy ich stosowaniu pogodzić dobrą selektywność z małymi zakłócenieniami częstotliwości. Jak widzieliśmy w pierwszej części dla dobrego odbioru musimy odbierać całe widmo fal promieniowanych przez stację nadawczą a w wypadku luksewowym wstęgi 20 kilocykli bez osłabienia wstęg bocznych,

to jest tonów wysokich, czyli krzywa rezonansu winna być płaska u szczytu. Z drugiej strony, aby uniknąć przeszkód ze strony „sąsiednich” stacji, krzywa rezonansu, poza pasmem częstotliwości objętych widnem promieniowanym, powinna strumie opadnąć. Jednym słowem, krzywa rezonansu powinna być możliwie prostokątna. Pojedyncze obwody zawsze dają krzywą mniej lub więcej zaokrągloną. Natomiast przy zastosowaniu obwodów sprzężonych uzyskujemy krzywą „prostokątną”.

Rozpatrzmy układ dwu obwodów, jak na rys. 9.

Obwody są ze sobą indukcyjnie sprzężone, jeżeli prąd płynący w obwodzie I dokoła cewki L_1 wytwarza strumień magnetyczny, którego część przechodzi również przez cewkę L_2 obwodu II. Wielkość tego strumienia, który przecho-



Rys. 9

dzi przez cewkę L_2 zależy od wzajemnego pobudzenia obu cewek L_1 i L_2 . Czyli, jak mówimy, od sprzężenia obu obwodów. Im cewki będą bliżej siebie, tym strumień przechodzący przez L_2 będzie większy, tym sprzężenie będzie silniejsze.

Sprzężenie charakteryzuje się tak zwanym współczynnikiem sprzężenia k . Określa on w pewnym stopniu stosunek strumienia w cewce drugiej do całkowitego strumienia magnetycznego wytworzonego przez cewkę pierwszą. Maksymalna wartość współczynnika k może wynosić oczywiście 1, gdy cały strumień cewki L_1 przechodzi przez cewkę L_2 . W praktyce do takiej wielkości dążymy się przy transformatorach małej częstotliwości z rdzeniem żelaznym. Przy cewkach dla częstotliwości wielkich osiąga się współczynnik $k \rightarrow 0,5$. Wartość ta oznacza duże sprzężenie; sp. sprzężenia poniżej 0,05 określa się jako małe sprzężenie.

O ile w cewce L_1 płynie prąd I_1 , wtedy strumień magnetyczny indukcyje w cewce L_2 się elektromotoryczną równą $E_2 = I_1 \cdot M$, gdzie M oznacza współczynnik indukcji wzajemnej równy

$$M = k \cdot L_1 \cdot L_2 \quad (11)$$

Jeżeli obwód drugi jest zamknięty, popłynie w nim prąd I_2 , który będzie oddziaływał na obwód pierwszy. W efekcie tego obwód pierwszy zachowuje się tak jakby wzrósł opór r_1 , oraz zmniejszyła się indukcyjność L_1 .

Wielkość prądu I_2 będzie największa wtedy, gdy obwód I będzie w rezonansie, czyli, gdy

WYTWÓRNIA Aparatów Dźwiękowych E. SZMIDT

SZOPIENICE, 3 MAJA 6.

Kompletne urządzenia rozgłośnikowe dla szkół, hut, zakładów przemysłowych.

Dostarczamy i naprawiamy: mikrofony dynamiczne, węglowe — transformatory, głośniki, wzmacniacze.

La $\omega_0 = \frac{1}{C_2 \omega_0}$. Podobnie i w obwodzie II prąd I_2

będzie maksymalny, gdy $L_2 \omega_0 = \frac{1}{C_2 \omega_0}$.



Rys. 10

Rozpatrzymy teraz szczegółowo zmiany napięcia na kondensatorze $C_2 = f(U_{C2})$ w zależności od zmiany częstotliwości dla pewnych stałych współczynników sprzężenia obu obwodów; zakładamy przy tym, że oba obwody zostały nieznacznie nastrojone na jedną częstotliwość rezonansową

$$\omega_0 = \frac{1}{\sqrt{L_1 C_2}} = \frac{1}{\sqrt{L_2 C_1}}$$

Zależność ta jest przedstawiona na rys. 10. Przy słabym sprzężeniu napięcie U_{C2} ma podobny przebieg jak dla pojedynczego obwodu rezonansowego. Ze wzrostem sprzężenia napięcie U_{C2} rośnie, przy czym krzywa rezonansu poszerza się.

Gdy sprzężenie przekroczy pewną wartość, krzywa rezonansu poszerza się jeszcze bardziej, przy czym występują dwa maksima oraz wklęsłości dla częstotliwości rezonansowej; wklęsłości oraz odległość obu maksimów krzywej powiększają się z dalszym wzrostem sp. sprzężenia, zaś napięcie dla maksimów krzywej jest zawsze tej samej wielkości.

Sprężenie, powyżej którego napięcie U_{C2} już nie wzrasta i występują dwa maksima, nazywa się sprzężeniem krytycznym. Określa je sp. sprzężenia

$$k_{kryt.} = \frac{1}{\sqrt{Q_1 \cdot Q_2}} \quad (12)$$

gdzie Q_1, Q_2 oznaczają odpowiednio sp. dobroci obwodów I i II. Krzywa rezonansu osiągnięta w obwodach sprzężonych jest o wiele korzystniejsza od krzywej obwodów pojedynczych, posiada szeroki szczyt oraz stromą boki, dzięki czemu odbiór przy pomocy takich obwodów nie daje zniekształceń częstotliwości przy równocześnie dobrej selekcji.

Wystąpienie dwu maksimów w krzywej rezonansu zachodzi z chwilą przekroczenia krytycznego sprzężenia. Równanie (12) jest słuszne dla obwodów mało różniących się między sobą. Dla obwodów, w których $Q_1 \neq Q_2$ dwa maksima występują, gdy współczynnik sprzężenia

$$k \geq k_{kryt.} \sqrt{\frac{1}{2} \left(\frac{Q_1}{Q_2} + \frac{Q_2}{Q_1} \right)}$$

W rzeczywistości różnice są nieduże, zaś kształt krzywej praktycznie nie odbiega od krzywej dla $Q_1 = Q_2$, z tą tylko różnicą, że przy większym sprzężeniu maksima posiadają mniejszą wartość aniżeli dla sprzężenia krytycznego.

W obliczeniu praktycznym obwodów sprzężonych (zwanych filtrami wstęgowymi) chodzi o obliczenie odpowiedniego współczynnika sprzężenia, dla którego osiągnięte są pożądany kształt krzywej.

Na rys. 11a i 11b podane są krzywe, przy pomocy których możemy obliczyć wszystkie interesujące nas dane.

Rys. 11a przedstawia zależność $\frac{U_{C2}}{U_{C2sr.}}$ od argumentu $Q \cdot \frac{\Delta f}{f_0}$ gdzie $Q = \sqrt{Q_1 \cdot Q_2}$, średnie z dwu obwodów.

Stosunek $\frac{U_{C2}}{U_{C2sr.}}$ podany jest w decybelach przy czym za poziom zerowy przyjęto średnie napięcie pomiędzy maksimum krzywej a napięciem dla częstotliwości rezonansowej.

Rys. 11b, przedstawia zależność Q od $\frac{2 \Delta f}{f_0}$ dla stałych k i maksymalnych odchyłach krzywej w stosunku do średniej Δ db.

Za szerokość wstęgi $2 \Delta f$ przyjmuje się rozstrojenie, dla którego napięcie równe jest napięciu przy częstotliwości rezonansowej (rys. 11b).

Korzystanie z wykresów najlepiej objaśni przykład.

Wzmocniacz pośredniej częstotliwości $f = 470$ kc/s pracuje poprzez filtr wstęgowy na diodę.

$L_1 = L_2 = 760 \mu H$ $Q_1 = 150$

$C_1 = C_2 = 180 pF$ $Q_2 = 2000$

opór wewnętrzny lampy $r_p = 1$ Meg

opór wniesiony przez diodę $R_d = 0.5 \cdot 1$

$= 0.5$ Meg.

Obliczyć taki współczynnik sprzężenia aby szerokość wstęgi wynosiła 16 kc/s ($\Delta f = 8$ kc/s).

KUPON Nr 16

na odpowiedź w »Radio«

Nazwisko

Adres

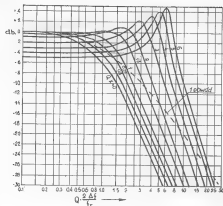


Рис. 11 а

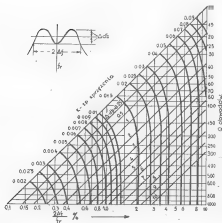
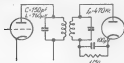


Рис. 11 б

a odchylenie krzywej nie było większe od 2 db od średniej. Obliczyć tłumienie dla rozstrojenia 20 kc/s od rezonansu.



Rys. 12.

1) Obliczamy Q obwodów.

W pierwszej obwodzie równolegle włączona jest lampka o oporze wewnętrznym 1 Meg. Na skutek tego dobroć obwodu będzie mniejsza, niż dobroć cewki. Opór odpowiadający stratom kondensatora

$$R_c = \frac{Q_c}{\omega \cdot C} = \frac{2000}{6,28 \cdot 470 \cdot 10^3 \cdot 150 \cdot 10^{-12}} = 4,5 \text{ Meg.}$$

opór wypadkowy z oporu lampy i oporu R_c

$$R = \frac{R_c \cdot \rho}{R_c + \rho} = \frac{4,5 \cdot 1}{4,5 + 1} \approx 0,8 \text{ Meg}$$

$$Q'c = R \cdot \omega \cdot C$$

$$0,8 \cdot 10^6 \cdot 6,28 \cdot 470 \cdot 10^3 \cdot 150 \cdot 10^{-12} \approx 350$$

$$Q_{\text{wsp.}} = \frac{Q'_c \cdot Q_L}{Q'_c + Q_L} = \frac{350 \cdot 150}{350 + 150} \approx 105$$

podobnie obliczamy wypadkowy sp. dobroci $Q_{\text{wsp.}}$; wynosi on 85.

Stąd średnie Q obu obwodów

$$Q = \sqrt{Q_1 \cdot Q_2} = \sqrt{105 \cdot 85} \approx 94$$

2) Obliczamy

$$\frac{2 \Delta f}{f_0} = \frac{2 \cdot 8}{470} = 0,34 = 3,4 \text{ dB}$$

dla obliczonego Q $\frac{2 \Delta f}{f_0}$

odczytujemy z wykresu 11 b

$$k = 0,028 \left(k_{\text{exp}} = \frac{1}{Q} = \frac{1}{94} = 0,0106 \right)$$

$$\Delta \text{ db} = 1,5 \text{ db.}$$

3) Dla obliczenia tłumienia przy rozstrojeniu o 20 kc/s skorzystamy z wykresu na rys. 11a. Obliczamy wielkość

$$Q \cdot \frac{2 \Delta f}{f_0} = \frac{94 \cdot 20}{470} = 4$$

oraz $Q \cdot k = 94 \cdot 0,028 = 2,64$ odpowiada to tłumieniu (z rys. 11a) 20 db.

Określenie osłabienia na krzywej rezonansu przy pomocy decybeli ma tę dobrą stronę, że przy obliczaniu krzywej selektywności całego odbiornika dodajemy wprost w decybelach tłumienie poszczególnych stopni. Na przykład jeżeli zastosujemy 2 filtry pośredniej częstotliwości, wtedy dla rozstrojenia 20 kc/s tłumienie wypadkowe wyniesie $2 \cdot 20 \text{ db} = 40 \text{ db}$.

Na rys. 11a dla porównania widzimy również krzywą rezonansu pojedynczego obwodu. (Linia kropkowana). Przeliczymy tłumienie jednego obwodu dla tych samych rozstrojeń ($Q = 94$).

Dla $\Delta f = 20 \text{ kc/s}$ otrzymujemy tłumienie 17 db, a więc selektywność o 3 db gorzej. Równocześnie odtwarzanie tonów o częstotliwości 8 kc/s ($\Delta f = 8 \text{ kc/s}$) będzie zupełnie złe, ponieważ tłumienie wyniesie 11 db, podczas gdy przy zastosowaniu filtra wąskopasmowego osłabienie wyniosło tylko 1,5. Korzyść zastosowania dwu obwodów sprzeczonych jest widoczna.

Wykłady radiotechniki korespondencyjnie

Inż. Z. Roman

Szopienice, ul. Edwarda Żabińskiego 1.

(Katowice)

Elementy RLC

KONDENSATORY.

1. Definicje.

Drugim zasadniczym elementem wchodzącym w skład każdego urządzenia radiowego jest kondensator.

Kondensator posiada zdolność gromadzenia w sobie elektryczności.

Im kondensator większy, przez analogię do zbiorników — mówimy — im większą posiada pojemność, tym więcej elektryczności potrafi w sobie nagromadzić (zatrzymać).

Jednostką pojemności jest farad, (F) nazwana na cześć słynnego fizyka angielskiego Faradaya. Jest to jednostka bardzo duża i w praktyce opiera się na mniejszych jednostkach zwanych mikrofaradami (μF), pikofaradach (pF albo pF) oraz niekiedy nanofaradami (nF).

Zależności między tymi jednostkami są następujące:

$$1 F = 1.000.000 \mu F = (10^6 \mu F)$$

$$1 \mu F = 1.000.000 pF = (10^6 pF)$$

$$1 pF = 1.000.000.000.000 pF = (10^{12} pF)$$

$$1 nF = 1.000 pF = (10^3 pF)$$

Wyżej wymienione jednostki, są to jednostki praktyczne; używana jest również jednostka układu elektrostatycznego, której wyznacznikiem jest cm.

$$1 F = 9 \cdot 10^{11} \text{ cm} \quad 1 \text{ cm} = 1,11 \text{ pF}$$

W praktyce zapamiętamy sobie, że aby otrzymać wartość kondensatora w pikofaradach mnożymy wartość w centymetrach przez 1,11. Tak więc kondensator 100 cm równy jest kondensatorowi 111 pF.

Kondensator w najprostszym swej formie składa się z dwu płytek metalowych przedzielonych t. zw. dielektrykiem, np. powietrzem, lub szkłem.

Kondensator, w którym nagromadzona jest elektryczność, wykazuje pomiędzy płytkami elektrodami, okładzinami napięcie. Wzrost tego napięcia określona jest równaniem:

$$E = \frac{Q}{C} \quad (1)$$

gdzie E — napięcie w woltach,

Q — ilość elektryczności w kulombach,

C — pojemność kondensatora w faradach.

Z drugiej strony równanie to określi nam ilość elektryczności jaka nagromadzi się w kondensatorze, jeżeli wiemy go na napięcie E.

$$Q = EC \quad (1a)$$

Zatem, im większe będzie napięcie, które „ładuje” kondensator, oraz im większa jest pojem-

ność kondensatora, tym więcej elektryczności — w nim nagromadzi. Wiemy o tym doskonale z praktyki, że gdy ładujemy kondensator o dużej pojemności, np. elektrolityczny i zawrzesmy jego zaciski, nagromadzona elektryczność wyzwolni się w formie ciepła (błysk), oraz słyszalnego trzasku; jeżeli ładujemy kondensator o mniejszej pojemności, lub ze źródła o mniejszym napięciu, błysk i trzask będą mniejsze. Ilość energii jaka nagromadzi się w naładowanym kondensatorze (albo energii jaka wyrzuci się przy zwarcu naładowanego kondensatora) wyraża się równaniem

$$W = \frac{1}{2} C E^2 \quad (2)$$

W — energia w wat · sekundach (dżulach),

C — w faradach,

E — w woltach

Widzimy stąd, że im większe napięcie, tym większa będzie energia (proporcjonalna do drugiego potęgi napięcia). W prostownikach dających wysokie napięcie przy wyłączeniu z sieci, zwiera się automatycznie kondensatory oporami; w ten sposób zapobiega się ewentualnym porażeniom ze strony naładowanego kondensatora.

2. Dielektryk.

a) Stała dielektryczna.

Siedliskiem energii naładowanego kondensatora jest dielektryk zawarty między okładzinami kondensatora.

Dielektryk, w ogólności izolator, charakteryzuje się dwiema wielkościami: tak zwaną stałą dielektryczną (ϵ) oraz stratnością (kątem strat).

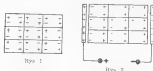
Stała dielektryczna jest bezw., która określa ile razy kondensator z danym dielektrykiem posiada większą pojemność od takiego samego kondensatora, który za dielektryk posiada próżnię (w praktyce powietrze).

b) Stratność.

Drugą ważną wielkością charakterystyczną dla dielektryka jest jego stratność.

Każdy dielektryk, podobnie zresztą jak każde ciało w naturze, składa się z elementów cząstek, np. atomów czy drobiny. Każda cząstka posiada w sobie ładunki elektryczności dodatniej i ujemnej, które w normalnym stanie są wzajemnie neutralizujące. (rys. 1) Jeżeli teraz umieścimy dielektryk pomiędzy płytkami kondensatora, włączanego, na napięcie, wtedy wskutek znanego działania przyciągania się ła-

ładunków różnego znaku, ładunki ujemne usadowią się w obrębie każdej cząstki od strony płytki dodatniej, zaś dodatnie od strony ujemnej, (rys. 2)



Gdyby dielektryk przewodził, wtedy ładunki przemieszczałyby się do odpowiednich elektrod, neutralizowałyby ładunki na nich, wskutek czego z baterii dałoby się utrzymać napięcie na kondensatorze musiałby spływać nowy ładunek i w ten sposób płynąłby prąd stały w obwodzie.

Ponieważ dielektryk jest izolatorem, ładunki mogą się przesuwać tylko w granicach swej cząstki, a nie mogą spływać do sąsiedniej, ani też do płytki metalowej, i są trzymane tylko dzięki siłom elektrostatycznym.

Jak widzimy z rysunku (2) ładunek (+) i (-), łatwiej na krańcach sąsiadujących cząstek, w działaniu na zewnątrz neutralizują się i w efekcie pozostają czynne tylko ładunki na ścianie dielektryka od strony płytki metalowej kondensatora.

Jeżeli kondensator odłączymy od źródła prądu, wtedy pozostaną na jego płytkach ładunki związane siłami elektrostatycznymi z ładunkami dielektryka. Przy zwarciu takiego kondensatora popłyną ładunki np. z płytki dodatniej do ujemnej, zneutralizują się, napięcie wewnątrz dielektryka stopniowo zmniejszy się i ładunki jego powrócą do stanu jak na rys. 1.

Na wytworzenie tego, jak mówimy, napięcia wewnętrznego w dielektryku potrzebna jest pewna praca. Przy prądzie zmiennym, jak to niżej zobaczymy, ładunki w poszczególnych cząstkach muszą przesuwać się z jednej strony na drugą, zgodnie ze zmianą znaku napięcia, działającego na kondensator. Przesuwanie takie nie odbywa się bez strat; zachodzi mianowicie jakby tarcie wewnętrzne każdej cząstki, a następstwem tarcia jest, jak wiadomo z życia codziennego, ciepło. Zatem, przy pracy kondensatora w obwodzie prądów zmiennych wydziela się w nim ciepło, które w urządzeniach dużej mocy stanowi już pewną uciążliwą wartość.

W obwodach małej mocy (urządzenia odbiorcze), gdzie nie ma obaw o uszkodzenie kondensatora na skutek nagrzania, straty powodują tłumienie obwodów rezonansowych, pogarszając selektywność itd.

Tabela 1 podaje stałe dielektryczne, stratności i napięcie przebicia niektórych materiałów, stosowanych przy budowie kondensatorów. Stratność podaje się jako $\tan \delta$ (czytaj: tangens delta), albo w procentach.

Tabela 1.

Materiał	Stała dielektryczna	$\tan \delta$			napięcie przebicia przy ciśnieniu kV/mm
		50 cps	1 Mc	10 Mc	
powietrze	≈ 1				4,4
papier naoleiszony	2,2-4	100	80-150		90
szkło (białe)	7		70		
olej	2,2		100		
miel	7	3	1,7	3,7	
kwarc	4,1		1	1	
celan	6,5	10-15	8,4	2,4	25-45
teflon	2,2		8,9	4,5	100
celan	6,6	8-10	8,2	2,6	70-45
ultracelan	7,1		1,0	1,0	20-35

Ogólnie biorąc, zarówno stała dielektryczna jak i stratność zależne są od częstotliwości, poza tym także od temperatury i od napięcia pracy. Konstruktorzy kondensatorów starali się wyznaczyć materiały o możliwie dużej stałej dielektrycznej i o małej stratności.

Pozwoliło to na wydatne zmniejszenie wymiarów i wagi kondensatorów. Materiały naturalne miały stałą dielektryczną nie wiele większą niż 7-8. Przy stosowaniu specjalnych związków, osiągnięto cyfrę 170-1000. Są to zazwyczaj dielektryki ceramiczne i dlatego ciężko obrabialne.

3. Kondensator w obwodzie prądu stałego.

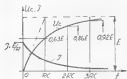
Zestawmy układ jak na rys. 3; po zamknięciu wyłącznika, kondensator (C) zacznie się ładować, i na jego okładkach pojawi się napię-



Rys. 3

cie U_c . Ładowanie kondensatora trwa tak długo, aż napięcie U_c będzie równe siłce elektromotorycznej źródła E.

Ladowanie kondensatora trwa w czasie zależnym od wielkości oporu obwodu R i kondensatora C .



Rys. 4

Przebieg napięcia na kondensatorze przedstawia rys. 4.

Jak widać na kondensatorze wzrasta napięcie zbliżając się asymptotycznie do wartości E .

Im mniejszy opór obwodu (R) oraz im mniejsza pojemność (C), tym szybciej kondensator się ładuje. Dla szybkości naładowania, mierzona jest tak zwana stała czasu, czyli iloczyn wartości $R \cdot C$ ($\Omega \cdot F$).



Rys. 5

Iloczyn ten posiada wymiar czasu (sekunda). Matematycznie przyrost napięcia na kondensatorze da się wyrazić równaniem,

$$U_c = E \left(1 - e^{-\frac{t}{RC}} \right) \quad (3)$$

gdzie t — czas w sekundach

e — podstawa logarytmów naturalnych — 2,718.

Z równania możemy obliczyć, że po upływie czasu $t = RC$ napięcie na kondensatorze wyniesie około 63% napięcia E . Po czasie równym $2RC$, $U_c = 86\%$ napięcia E ; po upływie czasu $4RC$ napięcie na kondensatorze wynosi 99% napięcia E , czyli praktycznie przyjmujemy, że kondensator jest już całkowicie naładowany.

Prąd w obwodzie w momencie załączenia osiąga natychmiast wartość maksymalną równą $\frac{E}{R}$ i spada asymptotycznie do zera. Zatem

stała czasu obwodu (RC) określa nam czas, po upływie którego napięcie na kondensatorze osiąga 63% napięcia końcowego.

Weźmy teraz pod uwagę przebieg rozładowania kondensatora przez opór R (rys. 5).

W położeniu (1) przełącznika P kondensator został naładowany do napięcia $U_c = E$. Po przełączeniu w pozycję (2) rozpoczyna się rozładowanie kondensatora przez opór R . Przebieg napięcia na kondensatorze przedstawia rys. 6; kondensator wyladowuje się według równania

$$U_c = E \cdot e^{-\frac{t}{RC}} \quad (4)$$

Po upływie czasu $t = RC$, napięcie na kondensatorze spadnie o 63% napięcia początkowego, po czasie $t = 2RC$ spadnie o 86%, zaś po czasie $t = 4RC$ do 1% napięcia początkowego (im mniejszy opór, tym szybciej kondensator się rozładowuje).

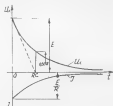
Właściwy dobór stałej czasu posiada b. duże znaczenie we wszelkiego rodzaju automatycznych regulacjach; poza tym spotykamy się z nią niemal codziennie przy sprawdzaniu kondensatorów. Mówiąc ładujemy kondensator ze źródła wysokiego napięcia np. 200 — 300V i zwracamy kościółki kondensatora; jeżeli nie pojawi się mocny błysk i trzask, mówimy, że kondensator przepuszcza. Znaczący to, że kondensator rozładowuje się samoczynnie przez swoją izolację. Im gorsza izolacja (mały opór), tym kondensator się szybciej rozładowuje. Dla izolacji kondensatora jest powodem wielu uszkodzeń w odbiorniku, dlatego opór izolacji powinien być możliwie wysoki (kilkadziesiąt do kilkuset megomów).

Zatem w obwodzie prądu stałego kondensator zasadniczo prądu nie przepuszcza. Popłynie tylko impuls prądu w momencie ładowania i rozładowania; weźmy kondensator 1 μF i opór obwodu 100000 Ω . Po czasie $4RC$ kondensator jest praktycznie naładowany, czyli

$$t = 4RC = 4 \cdot 10^{-6} \cdot 10^5 = 4 \text{ sek}$$

Kondensator w obwodzie prądu zmiennego

Zalążmy kondensator idealny (pośrodkowy) na źródło prądu zmiennego E — jak to przed.



Rys. 6

stawia rys. 7. Dotychczas byłoby przyzwyczajeni do faktu, że prąd elektryczny musi przepływać przez jakiś materialny przewodnik; w naszym

wypadku widzialny, że mimo braku jakiegokol. wiaok polczenia pomiedzy okladkami kondensatora w obwodzie plynie prad, wskazywany przez amperomierz.

Jeżeli napięcie generatora E zmienia się sinu.oidalnie, jak to przedstawia rys. 8, to, w czasie gdy napięcie zaczynać się jest w stosunku do d dodatnio, płynie prad ładowania kondensatora w kierunku ($c \rightarrow a - b \rightarrow d$).

- Kondensator ładuje się tak długo, aż napięcie na nim będzie równe napięciu źródła ($t_1 - t_2$); gdy napię generatora wzrasta się zmniejszać (okres czasu od $t_1 - t_2$), kondensator, który posiada napięcie $U_c = E$, zaczyna się rozładowywać: poplynie prad w kierunku przeciwnym ($d \rightarrow c$); na wykresie 8, obieg ($a - c - d - b$). Moment maksymalnej wartości prądu wypadł w czasie t_3 , to znaczy gdy napięcie źródła równe było zero.



Rys. 7

Od czasu t_2 biegun d staje się dodatni w stosunku do c i następuje ładowanie kondensatora w kierunku przeciwnym, to znaczy w kierunku $d \rightarrow b - a - c$. Gdy kondensator naładowuje się do maksymalnej wartości (w momencie t_3), napięcie generatora zaczyna się zmniejszać, zaś kondensator (ponieważ na nim napięcie równe jest E) zaczyna się rozładowywać (obieg $- b - d \rightarrow c - a$).



Rys. 8

Zatem prad, który wykazuje amperomierz, jest to prad ładowania i rozładowania kondensatora. Jak widać z rysunku (8), prad posiada ten sam charakter przebiegu co i napięcie źródła (E); jedynie tylko maksimum prądu występuje w innym czasie, niżżeł maksimum napięcia. (Napięcie na kondensatorze jest identyczne z napięciem źródła, ponieważ założyliśmy opór emowy obwodu równy zero). Maksimum prądu ma miejsce wcześniej, niżżeł maksimum napięcia. Mówimy, że prad kondensatora-wyprzedza

napięcie, albo inaczej, że prad jest przesunięty w fazie w stosunku do napięcia. Przesunięcie fazowe będzie to odciętek ($t_1 - t_2$) w mierze czasowej (oś pozioma — oś czasu).

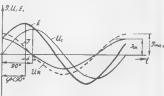
Ponieważ przebieg sinusoidalny powtarza się periodycznie co jeden okres, gdzie okres jest odcięciem czasu ($t_1 - t_2$), możemy oś czasu przedstawić w mierze kątowej.

Jeden okres czyli cała fala będzie odpowiadał kątowi 360° . Pół fał odpowiada kątowi 180° , zaś ćwierć fał (np. odciętek $t_1 - t_2$) równać się będzie kątowi 90° , a zatem w naszym wypadku prad jest przesunięty naprzód w stosunku do napięcia o kąt 90° . W elektrotechnice kąt przesunięcia fazowego określa się gręcią fazy φ (czyta) R).



Rys. 9

Co się stanie, jeżeli w obwodzie będzie łączenie z kondensatorem istniał opór R (rys. 9) Jak wiemy z części traktującej o zachowaniu się kondensatora z oporem w obwodzie prądu stałego, opór opóźnia moment maksimum napięcia na kondensatorze. A zatem w obwodzie prądu zmiennego napięcie kondensatora będzie się opóźniało w stosunku do napięcia źródła. Ponieważ prad kondensatora jest przesunięty o 90° w stosunku do napięcia U_c , a napięcie U_c opóź-



Rys. 10

nia się w stosunku jego napięcia E , zatem prad będzie przesunięty w fazie w stosunku do E o mniej niż 90° (rys. 10 kąt φ).

W rozpatrywaniu oporu omowego określiliśmy spadek napięcia na nim, jako iloczyn $I \cdot R$, albo powiedzieliśmy, że prad w obwodzie równa się: napięciu podzielonemu przez opór, $I = \frac{U}{R}$

Było to tak zwane prawo Ohma.

Podobnie i przy prądzie zmiennym dla kondensatora będzie obowiązywać prawo Ohma,

$$I = \frac{U}{X_c} \quad (5)$$

gdzie I i U będą wyrażone w wartościach skutecznych, odpowiednio w amperach i woltach.

Uskut — $U_{max} \cdot 0,707$

I_{skut} = $I_{max} \cdot 0,707$ (patrz rys. 10)

zaś X_c będzie to opór pojemnościowy kondensatora określany także przez analogię w omach (pojemnościowych). Opór pojemnościowy kondensatora jest tym mniejszy, im większa pojemność i im wyższa częstotliwość; określa go

$$\text{wzór: } X_c = \frac{1}{C \cdot 2 \cdot \pi \cdot f} \text{ omów} \quad (6)$$

C — pojemność w Faradach

$\pi = 3,14$

f — częstotliwość w c/s.

Naprzekład kondensator o pojemności $1 \mu F = 10^{-6} F$ przy częstotliwości sieci $f = 50$ c/s. posiada opór pojemnościowy:

$$X_c = \frac{1}{C \cdot 2 \cdot \pi \cdot f} = \frac{1}{10^{-6} \cdot 2 \cdot 3,14 \cdot 50} = 3180 \text{ omów}$$

jeżeli kondensator taki włączymy do sieci 220V prądu zmiennego, to popłynie prąd

$$I = \frac{U}{X_c} = \frac{220}{3180} = \approx 0,069 A = 69 \text{ mA}$$

(D. C. 2.)

Int. F. M.

TONGENERATOR

(dokończenie)

Dobór części

Jak wynika z teoretycznego opisu*) tongeneratora RC, celem uzyskania dobrej krzywej bez harmonicznych należy spełnić następujące warunki:

- 1) Lampy powinny pracować przy jak najmniejszych zniekształceniach.
- 2) Kondensatory zmienne i opory ustalające częstotliwość generatora, powinny być możliwie dokładnie sobie równe.

Wobec tego przy budowie tongeneratora na innych lampach, należy zwrócić uwagę na prace możliwie nie dużymi amplitudami i na środku prostoliniowej części charakterystyki. Ponieważ zależy nam na równomiernym wzmocnieniu w stosunkowo szerokim zakresie częstotliwości (do 20 kc/s albo i wyżej) należy stosować małe opory anodowe, a w związku z koniecznym wzmocnieniem stosować lampy o dużym nachyleniu, jak, np. p. pentody telewizyjne EF 14, EF 50 czy nawet lampy glośnikowe.

W tym wypadku, napięcie wyjściowe będzie nawet większe niżeli w egzemplarzu modelowym.

Zamiast automatycznej regulacji przy pomocy diody, wiele firm dla prostoty stosuje żarówkę 3 wotowe (110V), w katodzie pierwszej lampy, wobec czego odpada konieczność użycia w tym stopniu lampy o zmiennym nachyleniu.

Odnosnie punktu drugiego, należy stosować dobrej jakości kondensatory zmienne (dobrą izolacją ceramiczną) oraz starannie wyrównać

parami opory przy pomocy omomierza, czy miliamperomierza i odpowiedniego napięcia.

Jeżeli kondensatorem $2 \times 500 \text{ pF}$ nie da się uzyskać stosunku skrajnych częstotliwości w zakresie jak 1 : 10 (na skutek dużych pojemności początkowych) można zakresy do 20 kc/s rozbić na cztery podzakresy i według podanego wzoru (4a) obliczyć potrzebne wartości oporów.

Montaż

Tongenerator montujemy na chassis aluminiowym, cynkowym lub żelaznym. Ze względu na to, że w obwodzie siatki pierwszej lampy są duże opory, należy zabezpieczyć stopień pierwszy od wpływów indukcyjnych pochodzących szczególnie od części zasilającej. Kondensator oraz przełącznik z oporami montujemy w sposób swarty (np. pod kondensatorem przełącznik) i jako całość starannie ekranujemy. Należy przy tym zwrócić uwagę na staranną izolację kondensatora od masy.

Rotor bowiem jest pod napięciem zmiennym a opór, pomiędzy nim a masą jest rzędu kilku, czy kilkunastu megomów. Stator jednego z kondensatorów jest na potencjale ziemi (dla napięć zmiennych) zaś opór pomiędzy nim a ziemią wynosi ok. 2 megomy. (Przy rozwiązaniu z lampą regulacyjną w katodzie, stator jest połączony z ziemią). Dlatego staranny się umocować kondensator poprzez izolację na chassis przy pomocy np. plastików mosiężnych, przyślawianych do statora kondensatora pracującego pomiędzy siatką a ziemią.

Z tego samego względu pomiędzy osiá kondensatora a mechanizmem skali maszyny wsta-

*) patrz Nr. 7 — S. 14 27

wie przedkasker wykonany z dobrego materiału izolacyjnego (najlepiej ceramika) ponieważ zmienność izolacji między rotorem a stnem (np. wskutek wilgoci) zmieni charakter skali szczególnie na najniższym zakresie.

Zwrócić należy również uwagę na staranne odfiltrowanie napięcia zasilającego, jak również odsunąć przewody z wysokim napięciem zmiennym od obwodów siatek pierwszych stopni.

W przeciwnym wypadku przy częstotliwościach zbliżonych do częstotliwości sieci i jej harmonicznych może mieć miejsce synchronizacja, objawiająca się tym, że mimo zmiany pojemności kondensatorów, częstotliwość tona generatora pozostaje w pewnym zakresie bez zmiany. Oprócz tego występuje zniekształcenie przebiegu, oraz niestabilność amplitudy napięcia.

Skłą wykonujemy na przykład na papierze ryzykowym naklejonym na cienki bakelit (pertinak), albo najlepiej na bakelitem polakierowanym białym lakiem (acetonowym).

Fotografię modelu, ze względów technicznych, zamieścimy w jednym z najbliższych numerów miesięcznika.

Uruchomienie.

Do naprawy nadejdygo wyregulowania tona generatora, a także wycehowania, konieczny jest oscylograf. Może to być sama lampa oscylograficzna z zasilaczem (wystarczy napięcie 300 V). W braku generatora podstawy czasu na płytce poziome możemy włączyć napięcie z sieci (220 V). Omówienie szczegółów tego systemu znajduje Czytelnik w artykule o oscylografie (1 — 2 i 3 Nr. Ra). Wyjście z generatora włączamy do zacisków adaptera dobrego odbiornika, a płytki pionowe lampy oscylograficznej łączymy poprzez kondensator między anodę lampy głosińkowej a stniam.

W ten sposób na ekranie oscylografu możemy obserwować obraz napięcia tona generatora już dla częstotliwości od 400 — 500 c/s. Obraz będzie nieruchomy na ekranie, gdy częstotliwość generatora będzie wielokrotnością częstotliwości sieci.

W naszym tona generatorze są dwa elementy, które należy wyregulować. Pierwszy to opornik ustalający stopień ujemnej reakcji — R_a — 10 k Ω .

Ustawiamy przełącznik na drugim zakresie i zwiększamy stopniowo wartość opornika. W ten sposób zmniejszamy ujemną reakcję i w momencie gdy dodatnia reakcja (poprzez gałąź oporów i zmiennych kondensatorów) będzie większa od ujemnej, układ zacznie oscylovat. Na ekranie zobaczymy sinusoide; zwiększając wielkość opornika R_a zobaczymy, że obraz krzywej zaczyna być zniekształcony (zwykle zmienia się i częstotliwość).

Powracamy do poprzedniego położenia starając się pracować w pobliżu punktu powstawania drgań. Zmniejszamy następnie pojemność kon-

densatorów do minimum i ustalamy punkt na oporniku R_a , przy którym powstają oscylacje.

Ustalamy takie położenie opornika, przy którym tona generator oscylovat na całym zakresie, wytwarzając czystą krzywą o stałej amplitudzie. Jeżeli przy minimalnej pojemności kondensatorów amplituda opada, podregulujemy trimmer 50 pF równoległy do górnego (na schemacie) kondensatora.

W podobny sposób określamy wartość opornika R_a na innych zakresach. Z tych danych ustalamy optymalne położenie, które pozwoli na uzyskanie dobrej krzywej na wszystkich zakresach. W braku oscylografu i możliwości sterowania jakości krzywej, wskazane jest wprowadzić ośkę opornika R_a na zewnątrz, i pracować stale w punkcie powstawania oscylacji; wtedy mamy gwarancję, że krzywa jest sinusoidalna. Aby amplituda napięcia wyjściowego była stała na wszystkich zakresach, należy dodatkowo ustalić napięcie regulacyjne automatyki.

Wielkość napięcia automatyki zależy od doboru odczynu na oporze roboczym diody (u nas 40 i 60 kiloomów).

Przy pobraniu pełnego napięcia automatyki (opór 2 Meg. połączony wyprost z anodą diody) powstaje niepożądane zjawisko okresowego powstawania i zanikania oscylacji. Mianowicie wyobraźmy sobie, że dla pewnego punktu pracy lampy pierwszej powstają oscylacje. Na skutek bezwładności układu regulacyjnego napięcie oscylacyjne wzrasta do maksymalnej wartości, powstaje napięcie automatyki zaczyna zwiększać minus na stnacie lampy pierwszej, wskutek czego oscylacje zmniejszają się i ostatecznie zanikają. Po ustaniu oscylacji, punkt pracy lampy przesuwa się do stanu początkowego i zjawisko powtarza się. Jest to wypadek krańcowy i przy zmniejszaniu napięcia automatyki oscylacje coraz bardziej stają się równomiernie. Należy dobrać taki punkt pracy, przy którym oscylacje są stale bez wahającej się amplitudy.

Przy stosowaniu lamp i wartości oporów jak w modelu, optymalny punkt pracy uzyska się przy dzielniku 40 i 60 kiloomów.

Cechowanie.

Klasyczny i najdokładniejszy sposób cechowania polega na porównaniu częstotliwości tona generatora ze znaną warcową częstotliwością przy pomocy oscylografu.

Mianowicie włączając na płytce pisemne napięcie z tona generatora, zaś na płytce poziome z generatora warcowego (może nim być wycehowany już fabryczny tona generator lub warcową częstotliwość, opisany na hamach miesięcznika), otrzymujemy na ekranie figury Lissajousa.

(Szczegółowe omówienie w Nr. 3 Ra 47 przy opisie oscylografu).

Jeżeli częstotliwość jedna jest dokładnie wielokrotnością drugiej na ekranie powstaje obraz nieruchomy, z którego kształtu określamy stosunek częstotliwości. Zatem ogólnie biorąc do wycechowania potrzebujemy źródła o znanej częstotliwości oraz wskaźnika, który by określał moment krótności się częstotliwości (lub ich wielokrotności).

Jeżeli chodzi o źródła, to do dyspozycji każdego amatora stoi zawsze sieć oświetleniowa o częstotliwości 50 c/s, i dokładności zupełnie wystarczającej.

Jako wskaźnik najlepsza jest oczywiście lampka oscylograficzna, w braku jej posłużymy się magicznym okiem, które po pewnej wprawie pozwoli na równie dobre wycechowanie tanglezera.

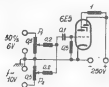
Drugą modliwością jest instrument muzyczny, którego tonacja i strojenie określone jest międzynarodowymi normami.

Najlepiej do tego celu nadaje się fortepian: w tym wypadku wskaźnikiem będzie nasze ucho.

Omówimy po kolei oba sposoby.

1. Cechowanie przy pomocy sieci i oka magicznego.

Prowizorycznie montujemy sobie przyrządek według schematu jak na rys. 15. (Autor sprawdził układ na lampie amerykańskiej 6E5, oczywiście można to zrobić na jakimkolwiek „oczku”).



Rys. 14

Najpierw nie włączając tanglezera ustalamy kąt cienia potencjometrem (P_1) z napięcia sieci 50 c/s. Powinno on wynosić około 45° (w lampie 6E5). Następnie włączamy tanglezer i ustawiamy go na pierwszym zakresie i podkręcamy potencjometr P_2 , aż obraz cienia zacznie drgać.

Jeżeli częstotliwość sieci i tanglezera będą w stosunku do siebie jak liczby całkowite, drgania ustają. Trudno dokładnie słowami takie cechowanie opisać, ale po paru minutach nabierzemy wprawy. Rozpoczynamy od zakresu najniższego. Pierwszy moment ustania drgań cienia będzie przy stosunku częstotliwości 2:5 czyli dla częstotliwości 20 c/s. Drugie dla stosunku 1:2 czyli dla 25 c/s. W ten sposób dojdziemy do stosunku 4:1, to jest 200 c/s.

Poniżej podajemy częstotliwości (tłustym drukiem), przy których zupełnie wyraźnie można zauważyć ustanie drgań. Powyżej stosunku 3:1 należy uważnie obserwować oczko, ale przy pewnej wprawie nie przedstawia to żadnej trudności.

Stosunek	częstotliwości
2:5	20 c/s
1:2	25
2:3	83,3
3:4	37,5
1:1	50
4:3	66,6
3:2	75
5:3	83,3
2:1	100
5:2	125
3:1	150
4:1	200
5:1	250

Po przejściu na drugi zakres (200—2000 c/s) po pewnej wprawie możemy dojść do częstotli-



Rys. 15

wości 500 c/s, a nawet do 1000 c/s (tu już łatwo o pomyłkę).

Orientację w skalowaniu ułatwia fakt, że w wypadku gdy opory ustalające częstotliwość są dokładnie dziesięciokrotnie większe (przy stosunku zakresów 1:10) skala się pokrywa. Niektóre firmy wykonują nawet tonogeneratory z jedną skalą od 20—200, która na innych zakresach takto jest skrzyna.

Na tym niestety kończą się nasze możliwości cechowania przy pomocy sieci (korzystając z oscylografu można wyecbować do paru tysięcy c/s).

Musimy zatem wykonać pomocniczy generator, jak n. p. na rys. 1 (Nr. Ra 7—8) i dobierając kondensatory obwodu, ustalić na częstotliwość 500 c/s, którą mamy już na naszym tonogeneratorsie.

Użyjemy tu transformatora międzylampowego (1:2—1:3) z dużą szczylną, przy czym użycie trzeciego nie potrzeba, zaś potencjometr wskaznika (oczka) włączamy poprzez kondensator (0,5 μ F) między anodę i katodę generatora pomocniczego; cechując podobnie jak z częstotliwością sieci dojdziemy do 5000 c/s, po której znowu musimy przestroić generator pomocniczy. Na zakresie najwyższym > 20 kc możemy skorzystać z czułego odbiornika, który odbierze wyższe harmoniczne np. 20 kc, 50 kc

i t. d. Odbiornik nastroimy na długofalową stację Drotwits (200 kc/s).

Jak widzimy z powyższego opisu, cechowanie bez oscylografu jest żmudne, ale możliwe do wykonania.

2. Drugim sposobem jest cechowanie „na słuch” przez porównanie dźwięku wytwarzanego przez głośnik włączony na nasz generator z dźwiękiem n. p. fortepianu.

Jak wiadomo wszystkie instrumenty są strojone według odpowiedniej skali. W użyciu jest skala fizyczna, w której ton „a” wynosi 432 c/s, międzynarodowa: „a” — 435 c/s oraz amerykańska: „a” — 440 c/s. Fortepiany są strojone według dwu ostatnich, a różnica jak ważna minimalna (1%) (rys. 15).

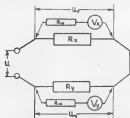
Jak wykazują dokładne pomiary w laboratorium Philipsa (Philips Technische Rundschau — Nr. 7.193B) przy nasłuchu europejskich stacji radiofonicznych, średnio ton „a” wynosi około 440 c/s.

Porównując na słuch z dźwiękiem fortepianu, uzyskujemy odpowiednie punkty na skali. Na tym skończylibyśmy strojenie tonogeneratorsa. Posługiwanie się nim przy badaniu urządzeń małej częstotliwości, podejmowane charakterystyk wzmacniaczy opiszemy w jednym z dalszych artykułów.

ROZMAITOŚCI

ANALIZA DZIELNIKA NAPIĘĆ PRZY POMOCY ZWYKŁEGO WOLTOMIERZA

Przy nieznanych wartościach dzielnika napięć powstaje pytanie, jak duże są poszczególne opory i na jakie wielkości dzieli się całe napięcie.



Rys. 1

Do wyznaczenia z dostateczną dokładnością napięć częściowych powinien być użyty woltomierz, którego opór wewnętrzny jest wyższy

przynajmniej o jedną dekadę od sumy wszystkich oporów dzielnika. Przy wysokoomowych jego członach wymaga to stosowania bardzo czułych przyrządów, których najczęściej nie mamy do dyspozycji.

Abyśmy określili opory konieczny jest przyrząd do pomiaru prądu lub omomierz, jednakże w obydwóch wypadkach zachodzi konieczność przecięcia połączeń.

Opisana metoda pozwala wyznaczyć wielkości oporów i napięć częściowych dzielnika przy pomocy zwykłego woltomierza. Opiera się ona na prostych zależnościach, dających w konkluzji gotowe formuły, z których połączane wielkości oblicza się na podstawie danych z wykonanego pomiaru.

Zgodnie z rysunkiem, przedstawiającym najprostszą dwuczłonowy dzielnik, wprowadzimy następujące oznaczenia:

- U — napięcie na zaciskach źródła prądu
- U_x — część napięcia na oporze R_x
- U_y — część napięcia na oporze R_y
- V_x — zmierzona przyrządem część napięcia na oporze R_x
- V_y — zmierzona przyrządem część napięcia na oporze R_y
- R_x i R_y podobnie, jak U_x i U_y są nieznanymi częściami oporów i napięć dzielnika.

Jeżeli źródło prądu posiada dostatecznie mały opór, napięcie U po przyłączeniu do końcówek dzielnika woltomierza o oporności wewnętrznej R_v , nie zmieni się w sposób widoczny, można wobec tego założyć, że woltomierz wskazuje pełne napięcie obciążonego źródła.

Przybliżony temat ten sam woltomierz do końców oporu R_y — odczytane wskazanie przyrządu odnosi się wówczas będzie do dwóch, równoległe ze sobą połączonych oporności R_v i R_y lub inaczej — do oporności wypadkowej $R_y' = R_v \cdot R_y / (R_v + R_y)$.

Całkowite napięcie U istnieć będzie w tych warunkach na sumie oporów R_x i R_y' .

Biorąc pod uwagę stosunek odczytanego na przyrządzie wskazania do napięcia całkowitego U dostaniemy:

$$\frac{V_y}{U} = \frac{R_y'}{R_x + R_y'} = \frac{R_v \cdot R_y}{R_v + R_y} \cdot \frac{1}{R_x + \frac{R_v \cdot R_y}{R_v + R_y}} \quad (1)$$

W podobny sposób, przenosząc woltomierz na końce oporu R_x , możemy napisać:

$$\frac{V_x}{U} = \frac{R_x \cdot R_v}{R_v + R_x} \cdot \frac{1}{R_y + \frac{R_x \cdot R_v}{R_v + R_x}} \quad (2)$$

Z powyższych równań obliczymy wielkość R_x i R_y .

$$R_x = \frac{R_v [U - (V_x + V_y)]}{V_x} \quad (3)$$

$$R_y = \frac{R_v [U - (V_x + V_y)]}{V_y} \quad (4)$$

Biorąc w dalszym ciągu pod uwagę, że:

$$U_y = \frac{U \cdot R_y}{R_x + R_y} \quad (5)$$

$$U_x = \frac{U \cdot R_x}{R_x + R_y} \quad (6)$$

ostatecznie dostaniemy:

$$U_x = \frac{U \cdot V_y}{V_x + V_y} \quad (7)$$

$$U_y = \frac{U \cdot V_x}{V_x + V_y} \quad (8)$$

Jak widać, do określania częściowych napięć istniejących na poszczególnych oporach dzielnika, może być użyty instrument o nieznanym oporze wewnętrznym. Znajomość R_v jest natomiast konieczna do obliczenia poszczególnych oporów R_x i R_y .

Weźmy dla przykładu dzielnik, składający się z dwóch nieznanych oporów. Przyjmijmy, że z pomiaru otrzymaliśmy: $V_x = 15,4V$; $V_y = 7,7V$; $U = 100V$; z obliczenia wzg. (5) i (6) dostaniemy: $U_x = 66,7V$; $U_y = 33,3V$. Błąd zależny jest głównie od dokładności odczytu. Na zero znajduje się w granicach 1% — 2%, otrzymane rezultaty są więc wystarczająco ścisłe nawet do laboratoryjnych obliczeń i pomiarów.

Powyższą metodą mogą być bardzo łatwo analizowane w sposób analogiczny także wielocelowe dzielniki, jak również oporowy i napięciowy podział potencjometru w określonym położeniu jego ślizgu.

J. K.

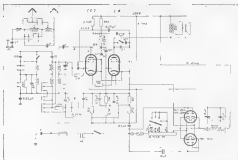
ZAMIANA LAMP LÖWEGO

Wśród odbiorników jakie dostały się do nas z zachodu często spotkać można było odbiorniki firmy Löwe z lampami, które zawierały w sobie kilka sytemów, często z dodatkowymi oporami i kondensatorami

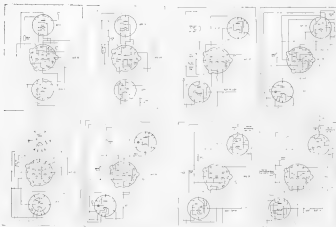


Rys. 1

W wypadku zepsucia się lamp odbiornik stał się bezużyteczny, zwłaszcza, że i firma Löwe przestała je produkować. Z zupełnie dobrym skutkiem możemy te lampy zamienić na inne na przykład na lampy serii E-11 albo serii C.

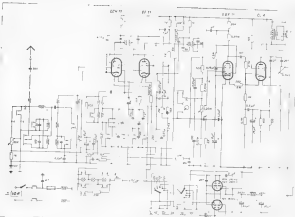


Rys 2



Rys 3 a, b, c, d

Rys 4 a, b, c, d



Rys. 5

Poniżej podajemy sposób zamiany lamp WG 34 stosowanych w odbiorniku jednoobwodowym oraz lamp WG 35 i 36 stosowanych w superach. Dane zaczerpnięto z czasopisma Radio-Mentor 11/12-44.

Rys. 1 przedstawia zamianę lampy WG 34 przez lampy CF 7 i CL 4, Rys. 2 — schemat jednoobwodówki (Gildemaister WG) po przeróbce. Odbiornik z zastępczymi lampami posiada na ogół większe wzmocnienie i dlatego należy czasem wprowadzić między anodę CF 7 a siatkę CL 4 dodatkowy filtr 10 K Ω i 1000 pF (kreskowane).

Podstawki lamp „C” montujemy na płycie pertinaksowej i przykręcamy do podstawki starej lampy, jak to widzimy na rys. 1. Mostek detekcyjny, który był wmontowany w lampę WG 34, umieszczamy w kubku ekranującym (kopie) siatkę lampy CF 7.

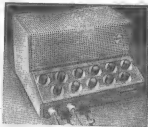
Na rys. 3 a, b, c, widzimy zamianę lampy WG 36 na zespół EF 11 — ECH 11, UBF 11 — UCH 11, CF 3 — CCH 1; zaś na rys. 3d i 4a, b, c, d zamianę lampy WG 35 na zespół CF 7 — CL 4, EBF 11 — CL 4, UCH 11 — UCL 11, UCL 11 — CF 7, UCL 11 — UBF 11.

Przy zamianie części diodowej wykorzystuje się triodę w lampie UCL 11, zaś przy zastosowaniu zespołu CF 7 — CL 4 lampę CL 7 pracuje jako trioda (katoda, siatka, ekran) oraz jako dioda (katoda — anoda). Użycie ten pracuje bardzo dobrze.

Na rys. 5 widzimy super „Patrizier” z zamianą na zespół ECH 11 — EF 11 oraz EBF 11 — CL 4.

NOWY SPRZĘT PHILIPSA

Z nadesłanych nam materiałów przedstawiamy nowe modele wzmacniaczy, mikrofonów i odbiorników Philipsa.



Rys. 1

Seria wzmacniaczy (5,12, 24, 50 watów) (rys. 1) odznacza się oryginalnym rozwiązaniem



Rys. 2 a



Rys. 2 b

i efektywnym wyglądem zewnętrznym. (Schemat elektryczny wzmacniacza 24 wat zasilającego w Nr. 8a). Na frontowej ścianie znajduje się 11 pokręteł, przy pomocy których włącza się i miesza niezależnie audycję z 4-ech kanałów (mikrofon, odbiornik, linia i adapter).

granicach od obciążenia dzięki ujemnej reakcji. Oprócz tego dla innych głośników wzmacniacz posiada odcięcie dla 60, 35, 20, 12, 7 woltów.

Zniekształcenia dla mocy nominalnych są mniejsze od 5%. Przebieg sp. zniekształceń od pobieranej mocy przedstawiają wykresy na rys. 2a, b.

Poziom szumów — 60 db.



Rys. 3



Rys. 4 b



Rys. 4 a.



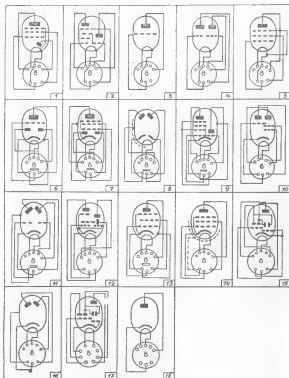
Rys. 4 c

Oprócz tego można zmieniać charakterystykę częstotliwości (maksymalnie osłabienie o 12,5 db przy 50 c/s albo przy 10000 c/s o 18 db).

Wzmacniacze są zasadniczo dopasowane na 100-woltowe: wyjścia niezależne w pewnych

Rys. 3. przedstawia różne wykonania mikrofonów (węglowe, węglowo, krystaliczne). Rysunki 4a, b, c, przedstawiają nowe typy odbiorników z efektywnymi skalami z grubego szkła, są to supery na prąd stały i zmienny.

Lampy serii ...11



Typ	rod- ing	Za- stawa- nie	Co- tło	Uz	Jz	Ua	Us1	Us2	Ja	Jz2 (Jz+Jz)	S (Se)	g	Ri	Ra	Pa	Pw
				V	V	V	V	V	m.A	m.A	m.A/b		g/Mg	g/Mg	W	W
DAF11	1+1	6+1	1	1,2	0,05	120	0	20	0,29	0,05	0,7	110	-	30000	0,6	-
		6+7W		1,2	0,05	90	-5	85	-	-	-	40	-	-	-	-
DCH11	2 +5B	2+3	2	1,2	0,075	120	0	60	0,8	-	0,3(1)	-	1	-	0,5	-
		-		-	-	90	-10	120	1	1,5	0,002	-	>10	-	0,3	-
DC11	2	4,77 7W	3	1,2	0,025	120	-0,5	50	0,7	-	0,3(1)	-	1	-	0,5	-
		-		1,2	0,025	90	-7,2	90	0,75	1,05	0,002	-	>10	-	0,3	-
DD11	2 +2	10B	4	1,2	0,1	120	-4,5	-	2	-	1	15	15000	10000	0,4	-
		-		-	-	90	-2,5	-	2	-	1	-	15000	10000	-	-
DF11	4U	1	5	1,4	0,025	120	-4,5	-	2x1,5	-	-	-	-	10000 (10)	-	1,4
		-		-	-	90	-3	-	2x1,5	-	-	-	-	10000 (10)	-	0,6
DL11	4	9	5	1,2	0,05	120	0	-	0,9	0,15	0,7	-	1	-	0,5	-
		-		-	-	90	-8	10000	-	-	0,007	-	>10	-	-	-
EBC11	1 +1 +2	6+7W	6	6,3	0,2	100	-3,2	-	2	-	1,8	2,5	10000	50000	-	-
		6+7W		-	-	200	-6,3	-	4	-	2,0	2,5	12500	100000	-	-
EBF11	1 +1 +4U	6+1	7	6,3	0,2	250	-2	10000 (1)	3	1,8	1,8	-	2	-	-	-
		-		-	-	100	-4,1	-	-	0,008	-	>10	-	-	-	-
EB11	1 +1	6+7W	8	6,3	0,2	250	-2	100	3	-	-	-	0,3	-	-	-
		-		-	-	100	-16	-	-	-	-	>10	-	-	-	-
ECH11	2 +5B	2+3	9	6,3	0,2	250	-2	10000	1,5	0,46	-	85(1)	-	100000	-	-
		-		-	-	200(3)	-	-	0,3	-	-	-	-	-	-	-
ECL11	2 +3	7W	10	6,3	1	250(4)	-2,5	-	2	-	2	30(1)	15000	20000	-	-
		9		6,3	1	250	-6	100(1)	36	4	9	-	25000	7000	-	4,2
EDD11	2 +2	7W	11	6,3	0,4	250(4)	-3	-	1,5	-	3	30	12000	100000	-	-
		10B		6,3	0,4	250	-8(4)	-	2x3,5	-	-	-	-	10000 (1)	-	5,5
						-	-	-	2x1,5	-	-	-	-	-	-	-

APARATURA RADIOWEŻŁA z własnym źródłem prądu

Czynnikiem, najbardziej utrudniającym radiofonizację nierelektyfikowanych wsi, jest konieczność stosowania własnych źródeł energii elektrycznej do zasilania urządzeń wzmacniających. Zastosowanie baterii galwanicznych jest ograniczone niewielką ich pojemnością, co powoduje, że mogą one być używane tylko do urządzeń wzmacniających bardzo małej mocy (praktycznie do 5 W mocy wyjściowej). Wysoki koszt baterii podnosi bardzo ogólnie koszty eksploatacji urządzeń, pomijając już trudności powodowane koniecznością ciągłej ich wymiany, transportu i t.p.

Wykorzystanie energii wodnej jest możliwe tylko w niewielu wypadkach, wymaga budowy kosztownych zapór i nadaje się raczej do napędu urządzeń większej mocy. Silniki spalinowe wymagają stałego dozoru, stałej konserwacji i stałych dostaw materiałów pędnych, co poważnie utrudnia ich zastosowanie.

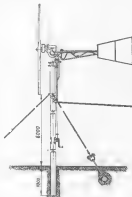
Z wyżej przytoczonych względów opracowano w Związku Radzieckim aparaturę wzmacniającą mocy wyjściowej 20 W, przystosowaną do zasilania z prądnicy poruszanej energią wiatru. Aparatura ta („WTU” — Wytwórnik 800) przeznaczona jest dla wież radiowych o 140 — 150 słupkach mieszkalniczych.

Układ aparatury jest następujący: energia wytworzona przez prądnicę napędzana wiatrem doprowadzona zostaje do tablicy rozdzielczej, wyposażonej w regulator napięcia, przełączniki akumulatorów, amperomierz i woltomierz. Z tablicy rozdzielczej połączone są akumulatory, z których czerpie się prąd o napięciu 8 V, do ładowania lamp wzmacniacza i odbiornika oraz do zasilania wibracyjnego dostarczającego wysokiego napięcia. Wzmacniacz wraz z odbiornikiem umożliwiają retransmisję stacji nadawczych oraz nadawanie audycji miejscowych przy pomocy adapteru i mikrofonu.

Agregat wiatrowy.

Agregat wiatrowy, którego widok podaje rys. 1, składa się z prądnicy prądu stałego 24 V o mocy 1000 W, napędzanej za pośrednictwem przekładni kół zębnych przez dwupłatkowe śmigło o średnicy 3 — 3,5 m. Agregat ustawia się na słupie T — 10 m nad powierzchnią ziemi, w miejscu jak najmniej osłoniętym przez działaniem wiatrów. Obrótowe rozdzielanie zapewnia należyte ustawienie się agregatu względem kierunku wiatru. Nominalna moc około 1000 W jest wytwarzana przy szybkości wiatru 10 — 12 m na sekundę. Jeżeli szybkość wiatru przekracza 22 m na sekundę, to urządzenie zostaje automatycznie unieruchomione na skutek ustawienia się śmigła z prądnicą pod kątem 90°

względem ogona kierowniczego. Użytkuje się to dzięki odpowiedniemu przegubowemu osadzeniu ogona w szkieście do prądnicy i śmigła. Normalne położenie ogona jest utrzymywane przy pomocy sprężyny.



Rys. 1

Śmigłowatek przymocowany do słupa służy do zastrzymania, w razie potrzeby, agregatu, powodując zmianę ustawienia śmigła z prądnicą względem ogona kierowniczego.

Tablica rozdzielcza.

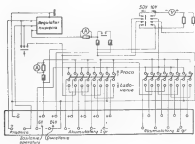
Tablica rozdzielcza jest połączona z prądnicą szumem przewodami. Dwa z nich doprowadzają prąd przeznaczony do ładowania akumulatorów, trzeci zaś łączy uzwojenie wzбудzające w prądnicy z regulatorem napięcia.

Napięcie prądnicy jest regulowane automatycznym wzbijającym regulatorem. W momencie, gdy napięcie przekroczy dopuszczalną wartość, następuje przerwanie obwodu zasilającego uzwojenie wzbudzące prądnicy, a złączona się dodatkowy opór. W następstwie tego zmniejsza się prąd przepływający przez uzwojenie wzbudzające, co powoduje spadek napięcia prądnicy. Na skutek spadku napię-

nia następuje z kolei zwarcie zasilczego dodatkowego oporu i ponowny wzrost napięcia prądu. Zwiększenie i rozprężanie styków zasilających dodatkowy opór następuje z dość znaczną częstotliwością rzędu 50 — 100 razy na sekundę, tak że wahania napięcia mają wartość znikomą.

Jedeli obroty prądu mają i napięcie spadnie poniżej napięcia baterii akumulatorów włączonych do ładowania, to połączenie zostaje natychmiast przerwane przez automatyczny wyłącznik prądu wstecznego.

Do zasilania wzmacniacza i odbiornika potrzebny jest prąd o napięciu 6 V. a prądnicą dostarcza prąd



Rys. 2

o napięciu 24 V., dlatego też na tablicy rozdzielczej znajdują się dwa przełączniki umożliwiające przełączenie akumulatorów. Gdy jedna grupa akumulatorów połączonych równolegle zasila aparat, to druga zostaje przełączona w szereg na napięcie 24 V. i zasilana na ładowanie. Każda z dwu grup akumulatorów składa się z 4 akumulatorów 6-cio woltowych o pojemności 100 Ah. Sumaryczna pojemność 400Ah jednej grupy akumulatorów przełączanej na pracę wystarcza dla normalnego funkcjonowania urządzenia w razie braku wiatru nawet w ciągu kilku dni.

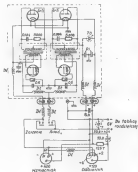
Dwa amperomierze wskazują prąd zużywany przez aparat. Woltomierz przełączalny na dwa zakresy umożliwia sprawdzanie napięć poszczególnych baterii akumulatorów. Przewidziana jest również pominięcie zarówek 24 V. zasilanych z baterii włączonych na ładowanie.

Schemat tablicy rozdzielczej podany jest na rys. 2.

Zasilacz.

Do zasilania wzmacniacza potrzebny jest prąd o napięciu 400 V. i wielkości 150 mA oraz o napięciu 6 V. Odbiornik jest zasilany prądem o napięciu 120 V. a lampy żarzy się prądem o napięciu 6 V i 2 V.

Prąd o wysokim napięciu otrzymuje się przy pomocy wibratora i transformatora. Po wyprostowaniu i wyfiltrowaniu zasila się nim obwody anodowe.



Rys. 3

Ze względu na dużą moc, którą zasilacz dostarcza zastosowano dwa wibratory i osobnymi transformatorami i lampami prostowniczymi. Filtry są wspólne dla obu układów. Oprócz normalnego filtra wyglądającego pulsację zastosowano jeszcze dławiki i kondensatory, których zadaniem jest zabezpieczenie od zaburzeń wysokiej częstotliwości powstających przy pracy wibratorów.

Napięcie do zasilania anodowego czerpie się z oddzielnego napięcia anodowego po zmniejszeniu go do odpowiedniej wartości oporem redukującym.

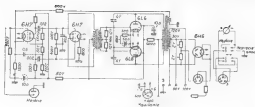
Schemat zasilacza podaje rys. 3.

Pobór prądu całej aparatury wynosi 17 — 18 A przy 6 V.

Zasilacz jest zamontowany w osobnej skrzynce metalowej i łączy się go z tablicą rozdzielczą, wzmacniaczem i odbiornikiem miękkimi kablami, zakończonymi wtykami.

Wzmacniacz i odbiornik.

Układ wzmacniacza, którego schemat podaje rys. 4, i jego konstrukcja nie wyróżniają się niczym



Rys. 4

od ogólnie znanych. Wyjścia wzmacniacza są dołączone do zasilania głośników mieszczących [30 V] oraz głośników większej mocy (120V). Prostownik diodowy z lampą 6 H 6 służy do pomiaru napięcia n. cz. na wyjściu wzmacniacza. Mikrofon i odepierz przyłącza się na ostatnią lampę odbiornika, która pracuje jednocześnie jako pierwszy stopień wzmacnienia n. cz.

Jako odbiornik jednostopniowy seryjny superheterodyny z lampami 2-u woltowymi, w której połączono tylko niezbędne przerębki. Usunąć lampę głośnikową odbiornika, a jako końcówka pra-

cuje część trójdowa lampy 6 Q7, którą zastąpię trójdą 2-u woltową. Wbudowano przełącznik umożliwiający szybkie przełączenie z mikrofonu na odbiór lub adapter

Do kompletnego aparatury należy tablica przełącznic linii wyjściowych na 4 linie, wyposażona w odgromniki i bezpieczniki.

Wzmacniacz, głośnik i odbiornik ustawia się na stole, a tablicę rozdzielczą i liniową umocowuje się na ścianie. Akumulatory ustawia się na podłodze pod tablicą rozdzielczą

T. A. W.

Przegląd schematów

Schemat Nr. 34 przedstawia super baterijny firmy Horay 257 W. Jest to odbiornik 5-cio lampowy 7-obwodowy, 8-zakresowy. Na wejściu filtr wstęgowy o sprzężeniu indukcyjnym. Stopień mieszający na lampie DCH 11 z obwodem strojowym w układzie oscylatora.

We wzmacniaczu pośredniej częstotliwości pracuje lampy DF 11. Demodulacja i wzmacnianie napięciowe niskiej częstotliwości następuje w diodzie — pentodzie DAF 11. Automatyczna regulacja siły głosu obejmuje lampę DCH 11, DF 11 oraz stopień małej częstotliwości na lampie DAF 11. Pierwszy filtr pośredniej częstotliwości posiada w drugim obwodzie odgałęzienia, których włączenie (kontakty 19, 20 i 21) umożliwia regulację szerokości wstęgi. Białkę tonu można poza tym regulować potencjometrem 0,1M w obwodzie anodowym lampy DC 11. Pracuje ona jako wzmacniacz sterujący (driver) stopnia wyjściowego. W stopniu tym pracuje lampy DDD 11 (podwójna tróda) w układzie przeciwobrotnym. Ujemne napięcie na siatki lampy DDD 11 jest zdajimowane automatycznie z oporu 500 omów, znajdującego się w obwodzie prądu między minussem napięcia anodowego a masą układu.

Dla poprawienia jakości i zmniejszenia zniekształceń zastosowano ujemną reakcję, obejmującą 2 stopnie niskiej częstotliwości. Z jednej anody lampy końcowej wprowadza się napięcie ujemnej reakcji poprzez układ oporowo-kondensatorowy na anodę lampy DAF 11, a stąd poprzez kondensator 5000 pF na siatkę DC 11. W ten sposób przy pracy lamp końcowych w kl. B uzyskuje się stosunkowo dużą moc wyjściową (ok. 1,4W) przy małych zniekształceniach.

Schemat Nr 35 przedstawia odbiornik typu „Horay E 132 Ultra Prinz” i pracuje on na 3-ch lampach (4-ta prostownicza) serii A. Posiada 3 normalne zakresy fal oraz 1 zakres dla stacji lokalnej. Jest to superreflex o 6-ciu obwodach, z których 3 są strojone, a pozostałe stanowią transformatory pośredniej częstotliwości. Na wejściu widzialny filtr wstęgowy (dla fal średnich i długich) i a nim stopień mieszający z lampą AK2. Obwody filtrów pośredniej częstotliwości są nastrojone na 128 Kcs. W następnym stopniu lampy ABC 1 pracuje jako wzmacniacz pośredniej częstotliwości, jako demodulator i jako wzmacniacz n. cz. W obwodzie jej występuje działanie reflexowe, a mianowicie modulowane prądy pośredniej częstotliwości z 1-go

filtra dostają się na siatkę sterującą lampy ABC1, skąd po wzmożeniu na II-gim filtrze, są zdemodulowane przez diodę i następnie jako prądy niskiej częstotliwości jeszcze raz skierowane na siatkę sterującą triody ABC 1. Po wzmożeniu na oporze 50000 omów dostają się przez kondensator stały 5000 pF, potencjometr 0,25 M i opór 50 K na siatkę katódowej lampy AL4 (wzmocniacza mocy). W obwodzie diody, (w którym powstaje detekcja) znajduje się opór 0,2M i 0,5M, na których powstaje napięcie służące do automatycznej regulacji aily głosu.

Dzięki stosunkowo niskiej pośredniości (128 kb/s) osiąga się wystarczające wzmożenie na triodzie (ABC1) bez obawy o wzbudzenie. Ze

względem na potężane małe tłumienie filtru II, w obwodzie anodowym triody widzimy cewkę sprzęgającą, a nie jak zwykle obwód strojony. W ten sposób wewnętrzny opór lampy nie wprowadza dużego tłumienia do obwodu.

Ciekawo jest ekonomiczne rozłączanie części prostowniczej; minowidła filtrację przeprowadza się kondensatorem 32 μ F, oporem 2000 omów oraz kondensatorem 4 μ F! Ten ostatni połączony jest szeregowo ze ślizgaczem oporu 150 omów w katodzie lampy AL 4.

Ślizgacza zmienna prądu wyprostowanego dostaje się między katodę a siatkę lampy katódowej i w ten sposób kompensuje tętnienie jakie powstaje w obwodzie anody.

Odpowiedzi Redakcji

Religioni Olgierd. W-wa.

Lampa RE804 wymaga — 45 woltów przedpięcia, które otrzymuje pośredniomocno ze speedu napięcia na oporze 2000 om. (powinno być 1200 om). Uwzględniając dla żarzenia innych lamp powinno być w tych warunkach oddzielenie.

Maksimum mocy oddanej przez lampę głośnikową uzyskuje się przez dobranie odpowiedniego oporu obciążenia — w tym wypadku jest nim transformator wyjściowy wraz z głośnikiem dynamicznym, który powinien wynosić 3500 om. Lampa KENS1234 może pracować zarówno w audie jak i w wzmacniaczu niskiej m. Schemat Nr 2 jest dobry poza tym, że brak w nim oporu opływowego dla statki S. drugiej lampy.

Feliksi H. Pomań.

Uwzględniając ramki o podanych wymiarach dla przyrządu 1mA winno mieć ok. 80 zwoit z drutu w smółce o średnicy 0,05 mm.

Mikrofon węglowy nie wymaga stosowania dodatkowego wzmacniacza. Transformator może być wykonany wg danych z Nr 4 dla transformatora filozofa. Napięcie zadające mikrofon wynosi 4 woltu.

Koszał Zemen. Prudnik.

Cewki krótkofalowe do dwójki uniwersalnej pokryją pasy pomiędzy 20 i 50 m. Lampa RV12P3000 jest typu bateryjnego i jako taka powinna być żarzona z akumulatora (a nie z baterii ze względu na ten prąd żarzenia — 0,18A). Lampa RV12P3000 ma $I_a = 0,075A$, co pozwala na żarzenie jej z 12 woltowej baterii.

Darek Ludwik. Kolbuszewo.

Zamiast lampy B0N964 i RE5374 można użyć G1064 i L46D. Potrzebne lampy nie mogą być zastępowane ani w odborniku „Lumaphon WK316”, ani w odborniku bateryjnym na miejscu lamp RV24P700.

Byczek Władysław. Tarnob.

Do wykonania cewek może być użyty drut z jakiegokolwiek starego zapięku, który stosunkowo łatwo jest zwinąć w każdym większym motocyklu.

W najbliższym czasie redakcja wyda podręcznik p. t. „Styczne podstawy radiotechniki”. W sprawie „kibichów” „szagów”, dotyczących budowy odbornika Za 2101 U prosimy o nadzanie konkretnych zapytań.

Kaczyski Marcin. Rzeszów.

Jako lampę audiodowu radzimy użyć A442 dalej jej tak, jak w poprzednim układzie napięcie na statce statka 5 μ oraz opór anodowy 0,2M Ω , którego nie zmodyfikowanym schemacie brak. Kosz. „X” ma pojemność 5 — 10 μ F, opór Y = 0,05M Ω — 0,1M Ω opór Z = 1M Ω . Trójkąt na lampach RV12P3000 można zasilać z prostownika, który zdobyty jest dostarczyć 20 m A prądu wyprostowanego. Należy stosować dzielnik napięcia porównujący uzyskać 12 woltów napięcia. Głośnik, magnetyczny może pracować na wyjściu lampy RV12P3000.

Pawlikowski B. — Krasniewice. — W dwóch bateriach dla porównujących w Nr 5 mien, użyte tam lampy można zastąpić innymi np. europejskimi serii „K” lub amerykańskimi dwuwoltowymi. Użyte lampy RV12P3000 mają trzy trójkąty, porównując lampy te wymagają 12-10 woltowego napięcia żarzenia.

Stachowicz L. — Białystok. — Jakość odbioru zależy przede wszystkim od dobrego aparatu, od odległości od stacji nadawczej, oraz od warunków lokalnych i atmosferycznych (zakłócenia). Płytki umieszczone w dolnej części lampy pozwala na pochłonięcie resztek pary i oszczędzanie potrzebnej prądu wewnętrznej balonu szklanej. Lampa ekranowana posiada ekran siatki sterującej dodatkową siatką (8 μ) ekranującą, które otrzymuje potencjał dodatni. Lampy tego typu odznaczają się wysokimi współczynnikami amplifikacji. Lampa ekspozycyjna posiada zmienną nacielenie charakterystyki. Potencjometr logarytmiczny jest to taki potencjometr, którego opór zmienia się w zależności od kąta wychylenia ślizgu w sposób logarytmiczny. Ze względów nasłuchowych nie możemy sędzić obcego wydźwięku z tej samej diadymy.

Romanowski Jerzy. — Poddębice. — Oporem wewnętrznym lampy nazywa się stosunek zmiany napięcia anodowego do wywołanej przez to zmiany prądu anodowego i na ogół jest wielkością stałą w zakresie prostoliniowości charakterystyki. Oporem wewnętrznym lampy nazywamy opór, który w obwodzie anodowym, na którym lampa oddaje moc prądu zmiennego. Dane lampy RE804 są następujące: $U_a = 4V$; $I_a = 0,05A$; $U_a = 200V$; $I_a = 2mA$; $U_a = -3V$.

Penieżej podajemy nazwiska osób, którym odpowiedni wysłać pocztą:

Amplitudki Złagiew — Warszawa, Żukowski T. — Wąchock, Fryczkowski — Tarnobrzeg, Bujalski Złagiew — Wrocław, Rebeczek Z. — Poznań, Pabla Jerzy — Łódź, Kłak Stanisław — Świdnica, Pablański Feliks — Czerwik, Pokrzywa Mieczysław — Katowice, Szymanski Miron — Częstochowa, Bartosz Tymon — Lublin, Świątek — Poznań, Raszczak Złagiew — Wrocław, Szymura Henryk — Chorzów II, Bernas Henryk — Warszawa, Makymowicz Ryszard — Koło Poleskie, Kozłowski Stanisław — Gliwice, Mironowicz Kazimierz — Cielistka, Lisak Jan — Kroczyń, Łukowski Franciszek — Radom, Ina, Galski Stanisław — Sandomierz, Morawczak R. — Włochy k/W-ey, Białe-

wiejski Ed. — Piaszno, Gucik Jan — Gliwice, Skopa Aleksander — Warszawa, Wójcik Zb. — Kraków, Galkowski Mieczysław — Kraków, Zaleski Marian — Gdynia, Wągrzynowski Władysław — Wrocław, Kłak, dysz Stefan — Włocławek, Nowak Henryk — Płocznice, Plesko Jerzy — Opole, Kowalski — Kraków, Kwiatkowski Edward — Olsztyn, Ryd Paweł — Radom, Polak Robert — Gdynia, Szajkowski Edmund — Przemyśl, Sorek Jan — Kraków, Dubrowski Marian — Gliwice, Pasmuła — Skokowa Wola, Cielicki Złagiew — Kraków, Weber — Sosnowiec, Karla M. — Grady, Haliński R. — Myślenice, Zamojski Lesław — Tarnobrzeg, Gajewski J. — Białobok, Michałowski Tadeusz — Kłodzko.

NOMOGRAM

Obliczanie filtrów pośredniej częstotliwości.

W uzupełnieniu artykułu z cyklu „Obliczanie odbiorników” podajemy nomogram dla określenia współczynnika sprzężenia cewek według danych z obliczenia elektrycznego filtrów pośredniej częstotliwości. Jak wiadomo z wyżej podanego artykułu zależnie od współczynnika sprzężenia pomiędzy dwoma obwodami, otrzymujemy krzywą rezonansu o jednym względnie dwa wierzchołkach. Sprzężenie, przy którym następuje poszerzenie krzywej rezonansu i przejście do dwóch wierzchołków nazywamy sprzężeniem krytycznym. Określona jest ono w przybliżeniu wzorem

$$k_{kr} \approx \frac{1}{Q}$$

W przytoczonym artykule podany był wykres ujmujący kształt krzywej rezonansu w zależności od stosunku k/Q .

gdzie k — sp. sprzężenia

Q — wypadkowy sp. dobroci z obu obwodów.

Współczynnik sprzężenia „ k ” określony jest wzorem

$$k = \frac{M}{\sqrt{L_1 \cdot L_2}}$$

gdzie M — sp. indukcji wzajemnej

L_1, L_2 — sp. indukcyjne własne obwodów.

I w praktyce sprawdza się go eksperymentalnie pomiarami M, L_1 i L_2 .

Z dość dobrą dokładnością można również obliczyć sp. sprzężenia przy pomocy mniej lub więcej skomplikowanych wzorów.

Penieżej podajemy nomogram. Radio Data

Charta - Wiedeń World 1945, przy pomocy którego określić można z dokładnością do 5% sp. sprzężenia dla jednakowych cewek wielowarstwowych.

Dla danych wymiarów cewki t. j. długości (l), średnicy (D + t) oraz żądanego sp. sprzężenia (k) określa się odległość pomiędzy środkami cewek (b), względnie mając ustalone wymiary (l, D, t, b) możemy obliczyć sp. sprzężenia „ k ”.

Dla przykładu obliczymy odległość pomiędzy cewkami, jeżeli $k/Q = 2$ a Q obwodów = 100 stąd

$$k = \frac{2}{Q} = \frac{2}{100} = 0,02$$

wymiary cewek:

$$l = 0,8 \text{ cm}$$

$$D = 2 \text{ cm}$$

$$t = 1 \text{ cm}$$

$$D + t = 3 \text{ cm}$$

$$1) \text{ Obliczamy } \frac{l}{D+t} = \frac{0,8}{3} = 0,267$$

2) Łączymy punkt 0,267 na skali pierwszej z punktem 0,02 (k) na skali trzeciej (linia 1).

3) Od punktu przecięcia się linii 1 z linią pomocniczą prowadzimy styczną do krzywej (linia 2).

4) Punkt przecięcia linii (2) ze skalą pierwszą łączymy z punktem odpowiadającym średnicy cewki na skali trzeciej (3 cm).

5) Linia ta (3) przecina skalę środkową w p. 4,5 cm jest to odległość między środkami cewek.

Redaguje Komitet

Wydawca: Biuro Wydawnictw P. R.

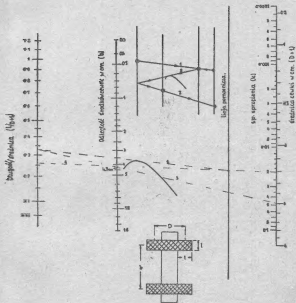
Adres Redakcji i Administracji: Warszawa, Nowokulską 26.

Warunki prenumeraty: Półrocznik wraz z przysyłką pocztową zł. 300. Prenumerata należy wpłacić na konto ciekowe w PRO Nr 1-326 „Radio i Świat”. Na otrzymanie blankietu nadawczego należy zaadresować prenumerata miesięcznika „Radio”. Cena pojedynczego egzemplarza zł. 60—.

Ceny ogłoszeń: na okładce 1 kol. — 8.000 zł., 1/2 kol. — 4.000 zł., 1/4 kol. — 2.000 zł., 1/8 kol. — 1.000 zł. w tekście zł. 50 za 1 mm szer. 1 wierszy.

Druk: NKW Stron. Lud. W-wa

B-4305



Nomogram Nr 18.

Elektro-techniczny
 Zarząd Insulacyjny
 Zuborski Marian
 Łódź